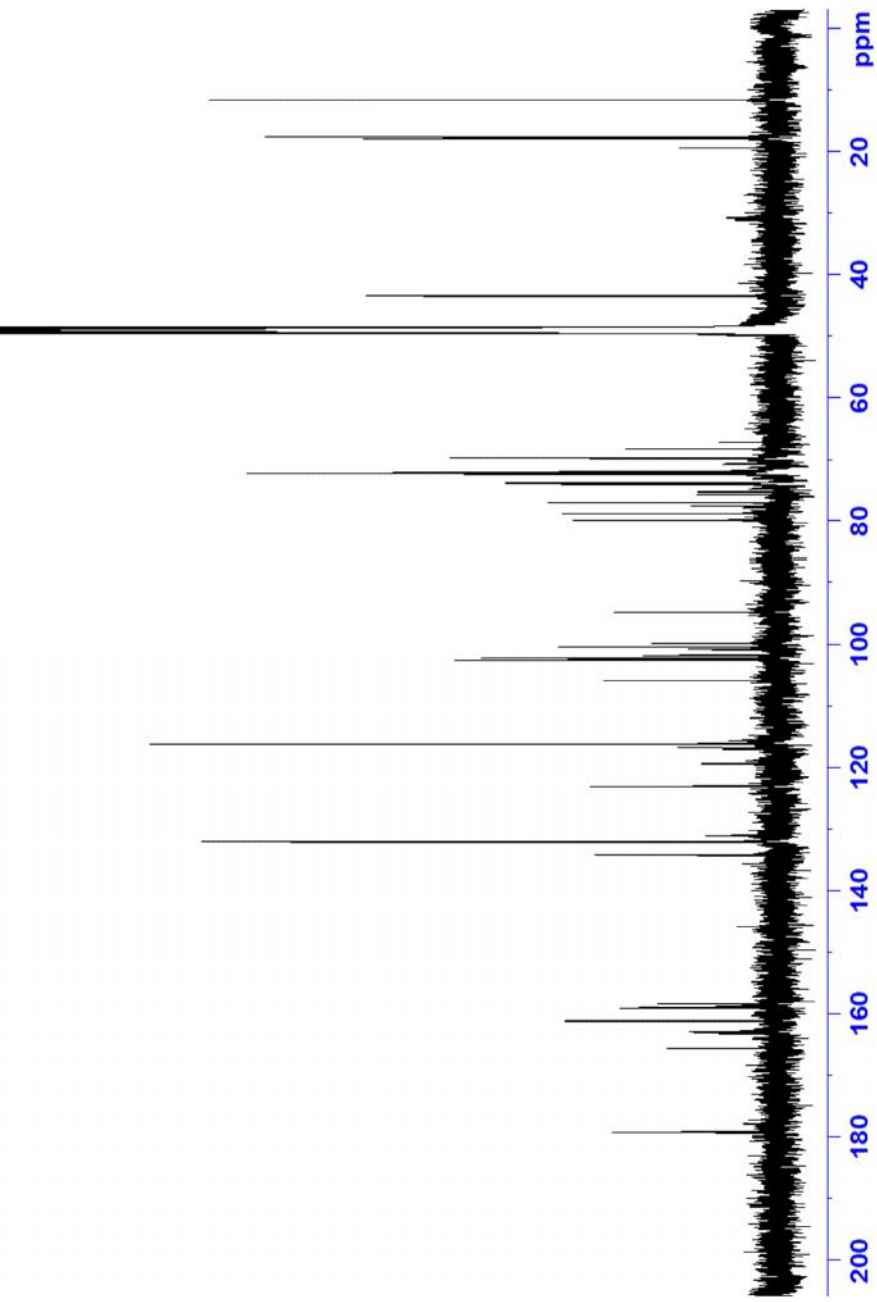


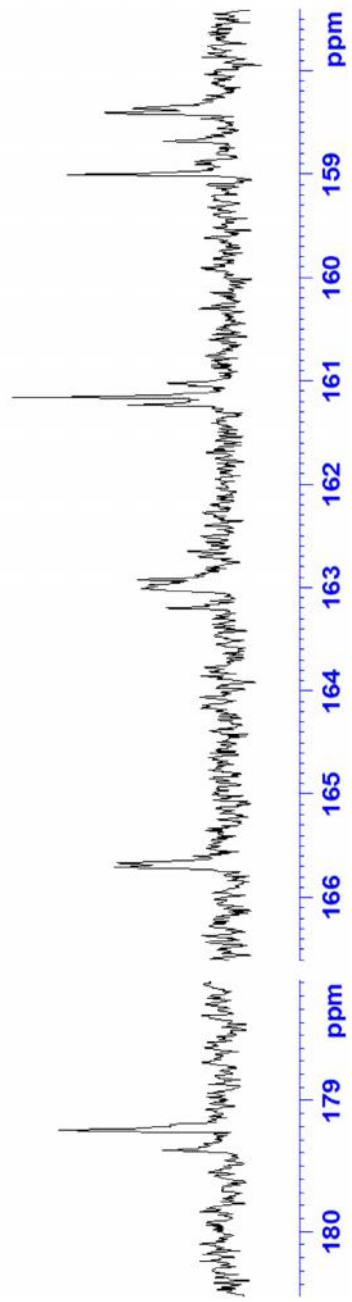


179.23	165.71	162.93	161.16	159.01	158.41	134.28	132.17	132.11	123.12	116.78	116.17	105.86	102.53	102.21	101.78	100.85	100.43	99.86	94.82	79.87	78.84	77.53	76.99	73.99	73.78	72.33	72.25	72.04	71.86	69.88	69.70	68.26	49.52	49.35	49.18	49.00	48.84	48.66	48.49	43.46	17.93	17.81	17.52	11.55
--------	--------	--------	--------	--------	--------	--------	--------	--------	--------	--------	--------	--------	--------	--------	--------	--------	--------	-------	-------	-------	-------	-------	-------	-------	-------	-------	-------	-------	-------	-------	-------	-------	-------	-------	-------	-------	-------	-------	-------	-------	-------	-------	-------	-------



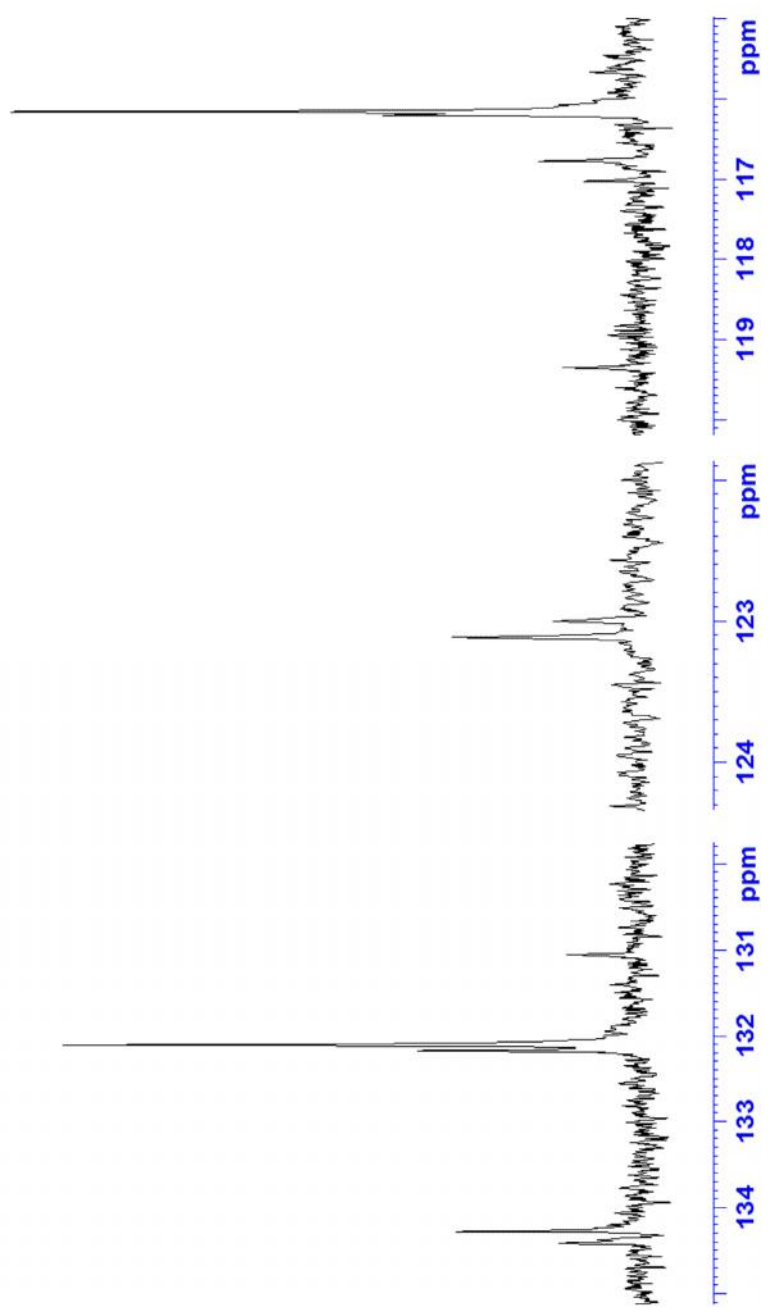
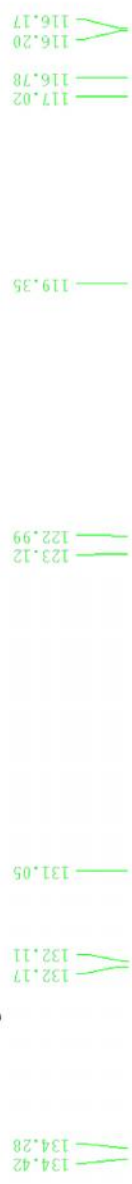
Espectro 82.- Espectro RMN-¹³C del compuesto CfH-2 (Kaempferol-3-O-(2''-ramnosil)rutinosido)

UCV / M. Rodriguez / CfHL-f72 / MeOD / Carbono



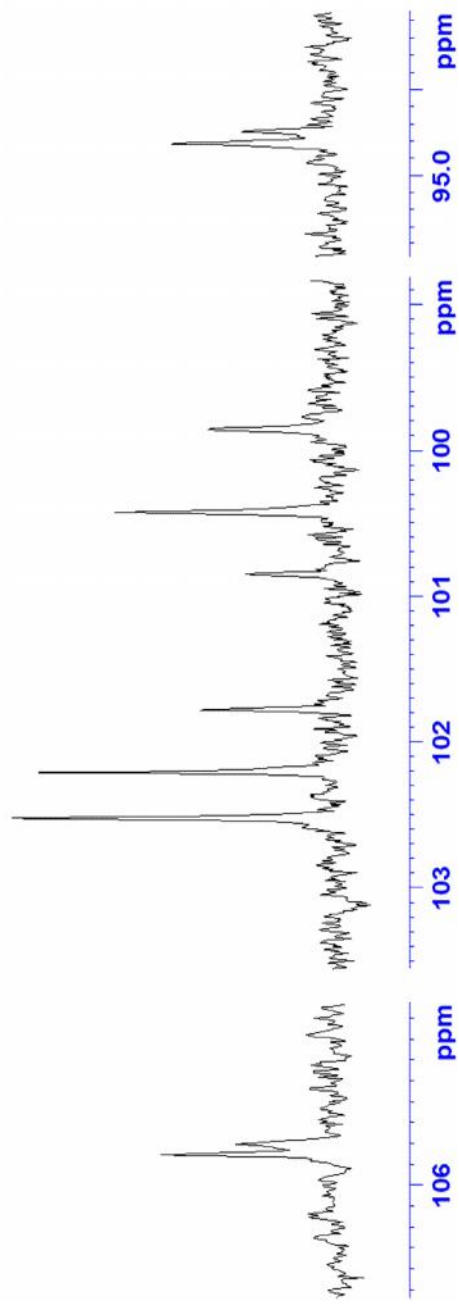
Espectro 83.- Ampliación entre 158-180 ppm del espectro RMN-¹³C del compuesto CfH-2 (Kaempferol-3-O-(2"-ramnosil)rutinósido)

UCV / M. Rodriguez / CfHL-f72 / MeOD / Carbono



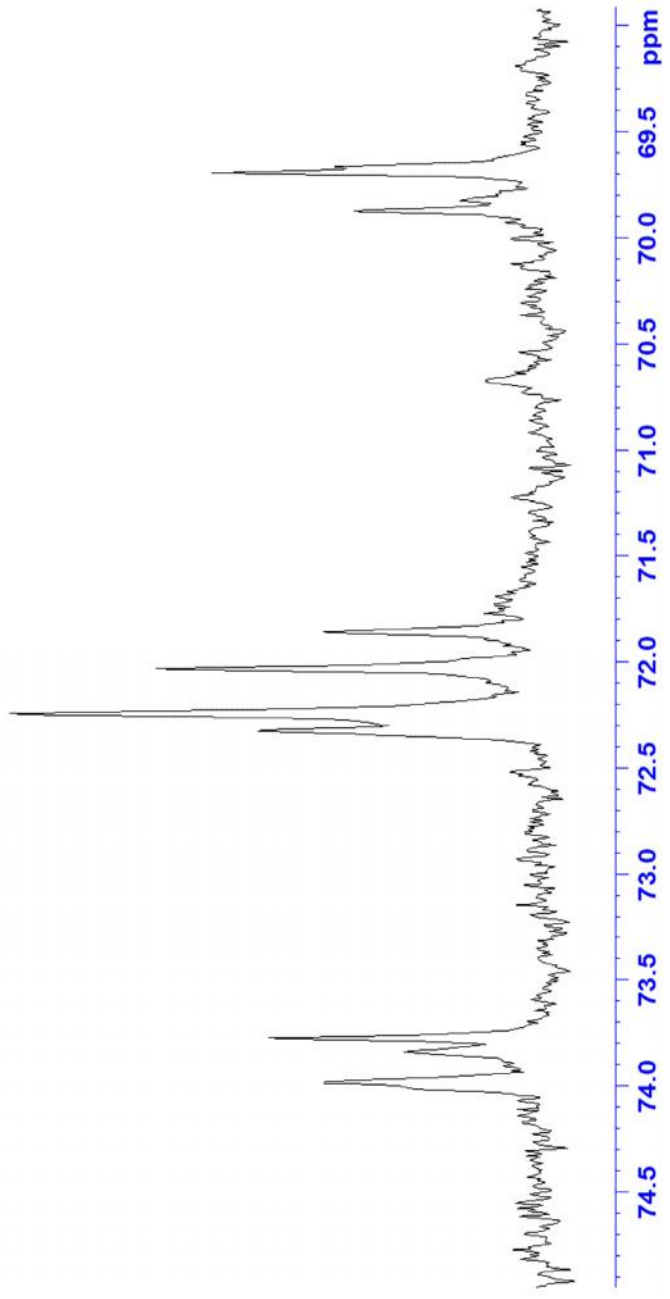
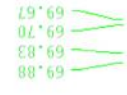
Espectro 84.- Ampliación entre 116-136 ppm del espectro RMN-¹³C del compuesto CfH-2 (Kaempferol-3-O-(2'-ramnosil)rutinosido)

UCV / M. Rodriguez / CFHL-f72 / MeOD / Carbono



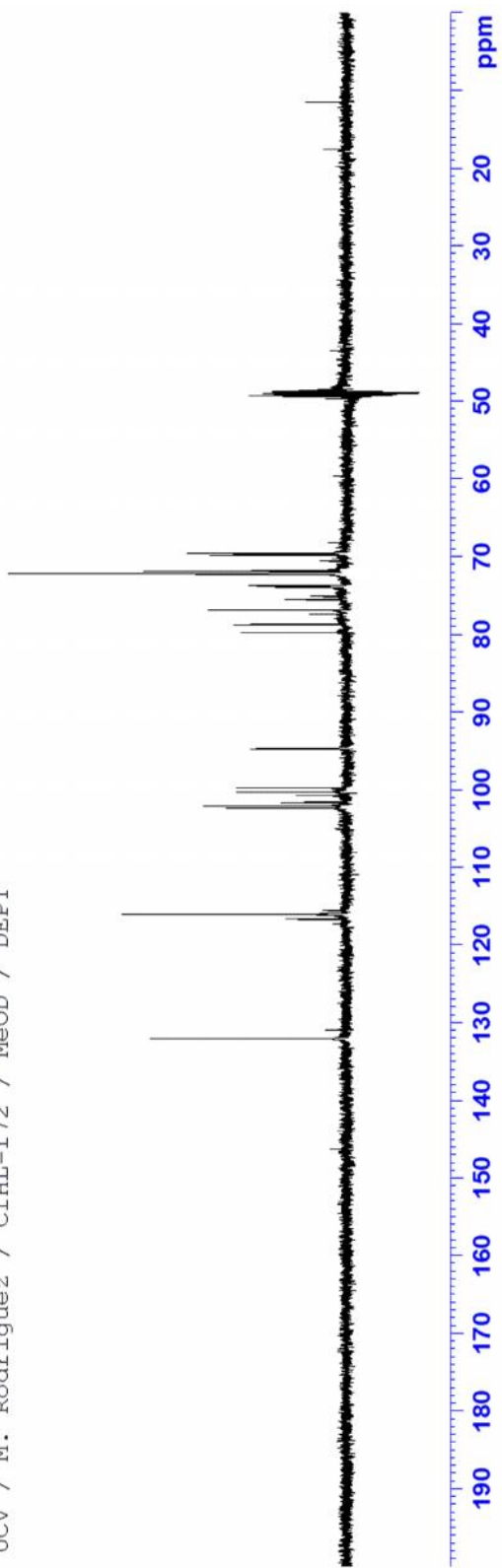
Espectro 85- Ampliación entre 94-107 ppm del espectro RMN-¹³C del compuesto CfH-2 (Kaempferol-3-O-(2''-ramnosil)rutinósido)

UCV / M. Rodriguez / CfHL-f72 / MeOD / Carbono

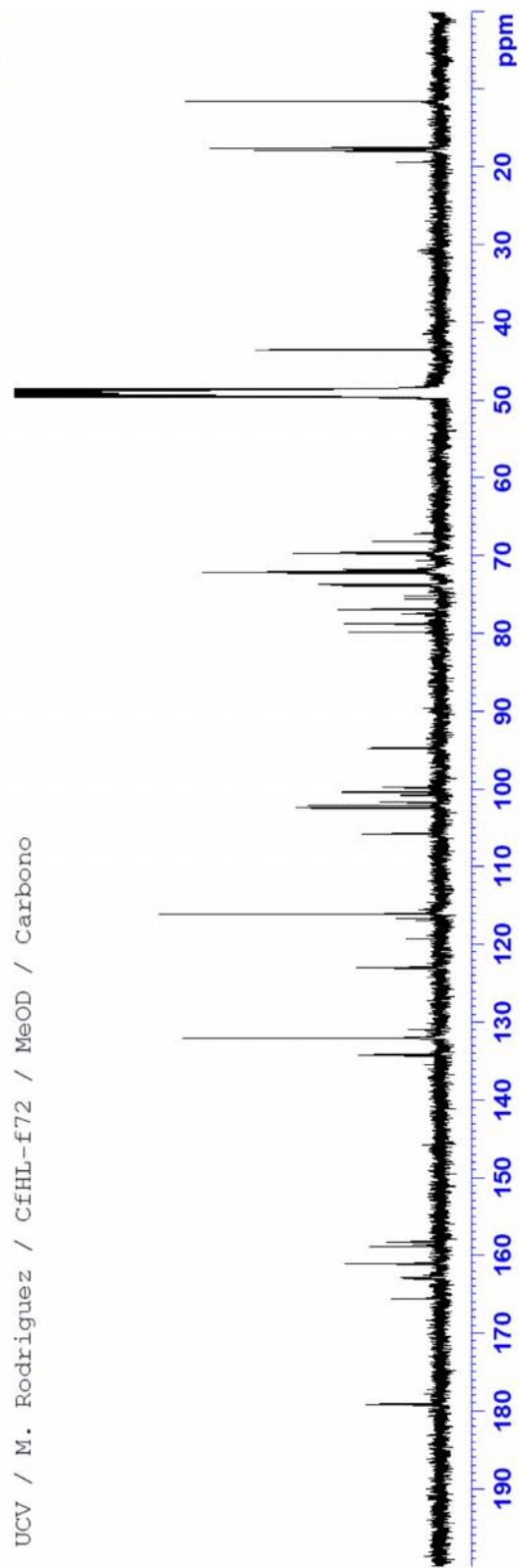


Espectro 86.- Ampliación entre 67-79 ppm del espectro RMN-¹³C del compuesto CfH-2 (Kaempferol-3-O-(2"-ramnosil)rutinósido)

UCV / M. Rodriguez / CfHL-f72 / MeOD / DEPT

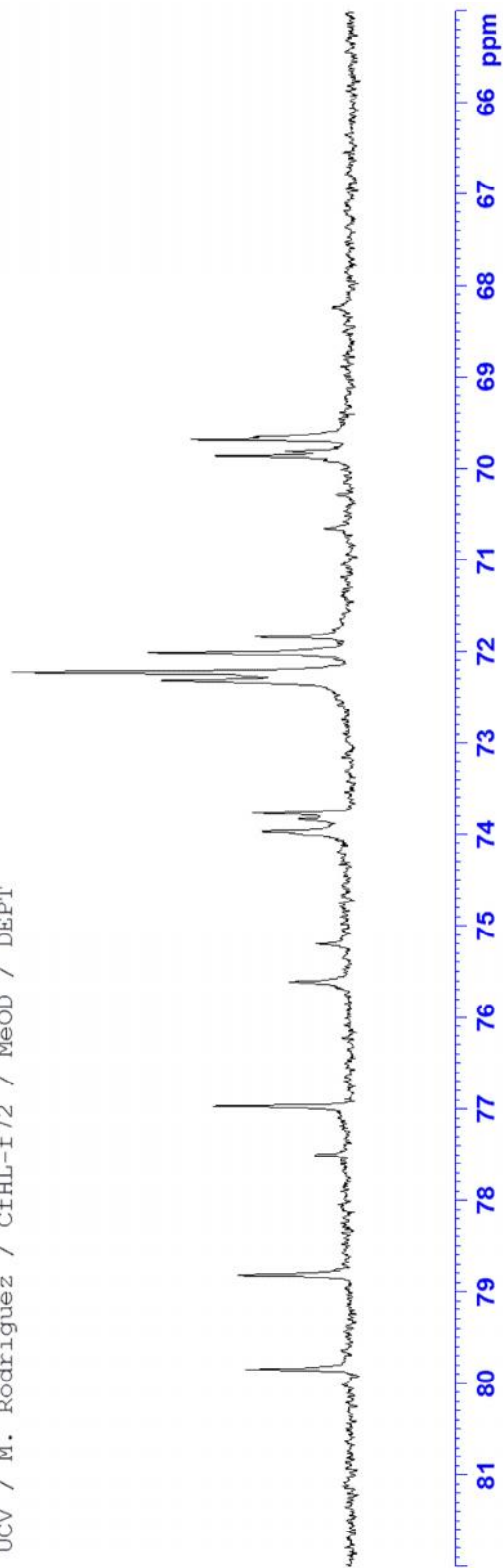


UCV / M. Rodriguez / CfHL-f72 / MeOD / Carbone

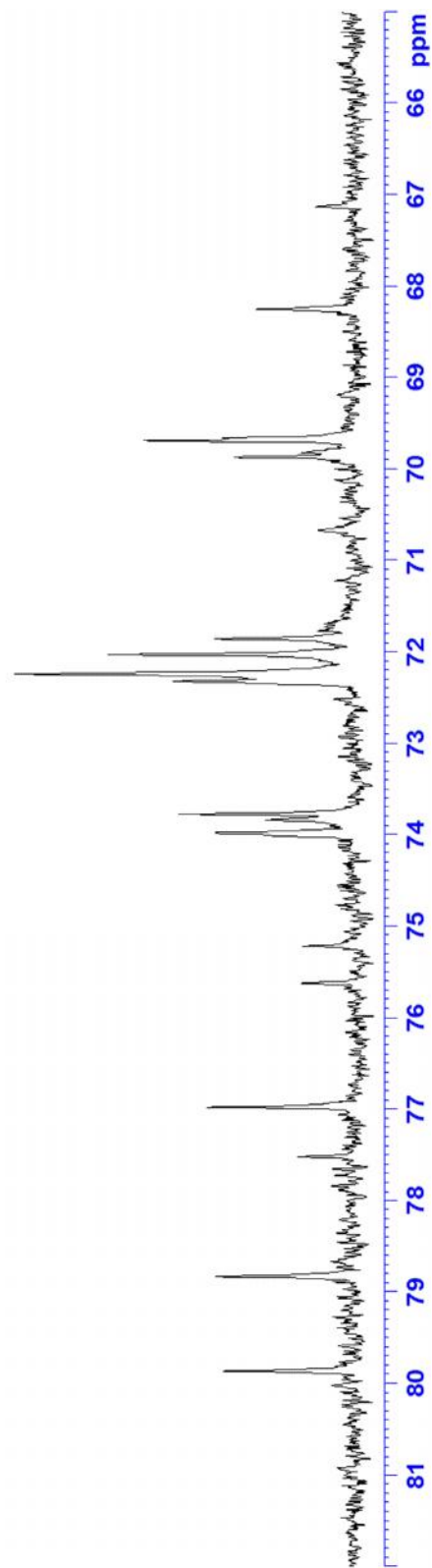


Espectro 87.- Espectro DEPT-135 del compuesto CfH-2 (Kaempferol-3-O-(2''-ramnosil)rutinósido)

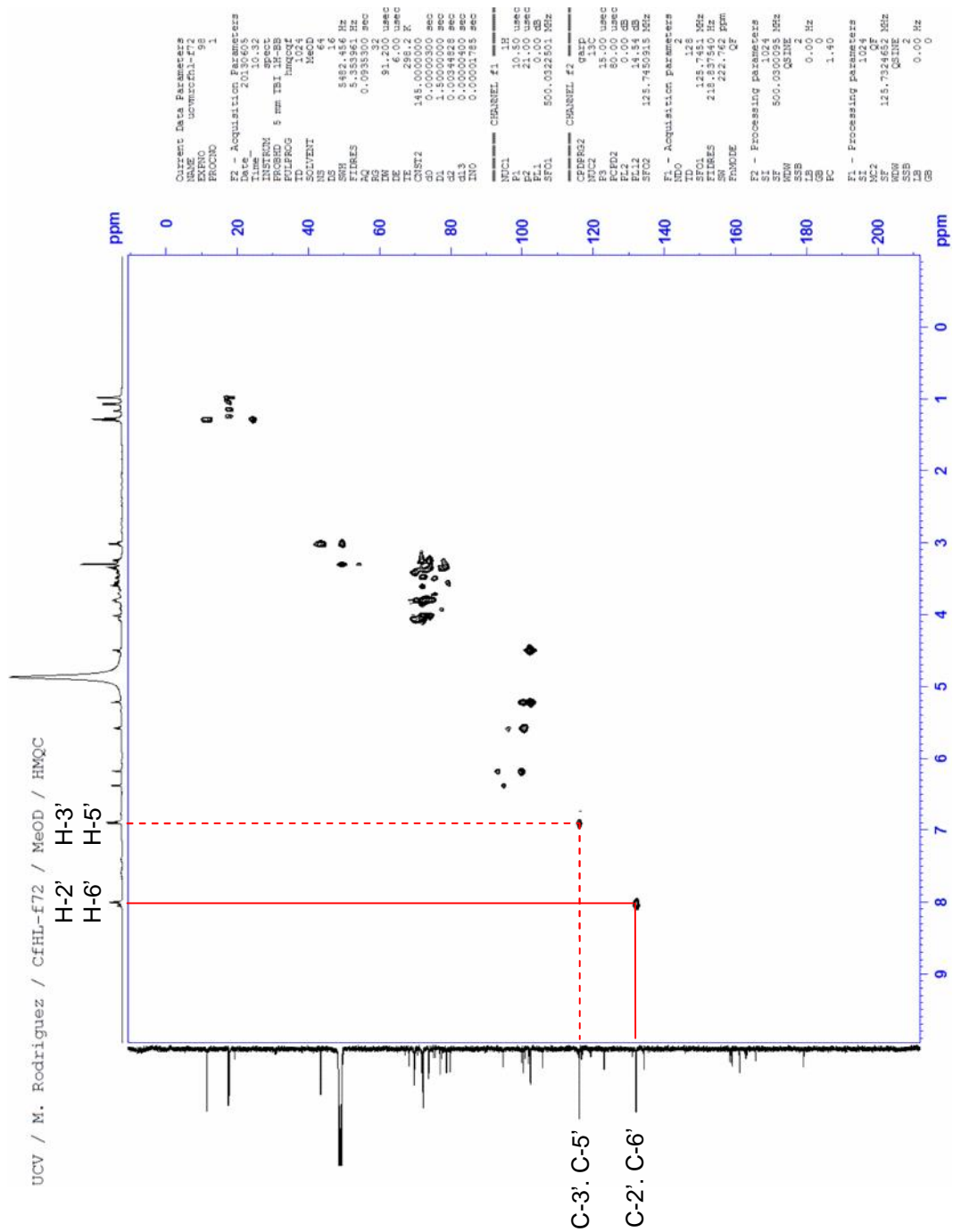
UCV / M. Rodriguez / CfHL-f72 / MeOD / DEPT



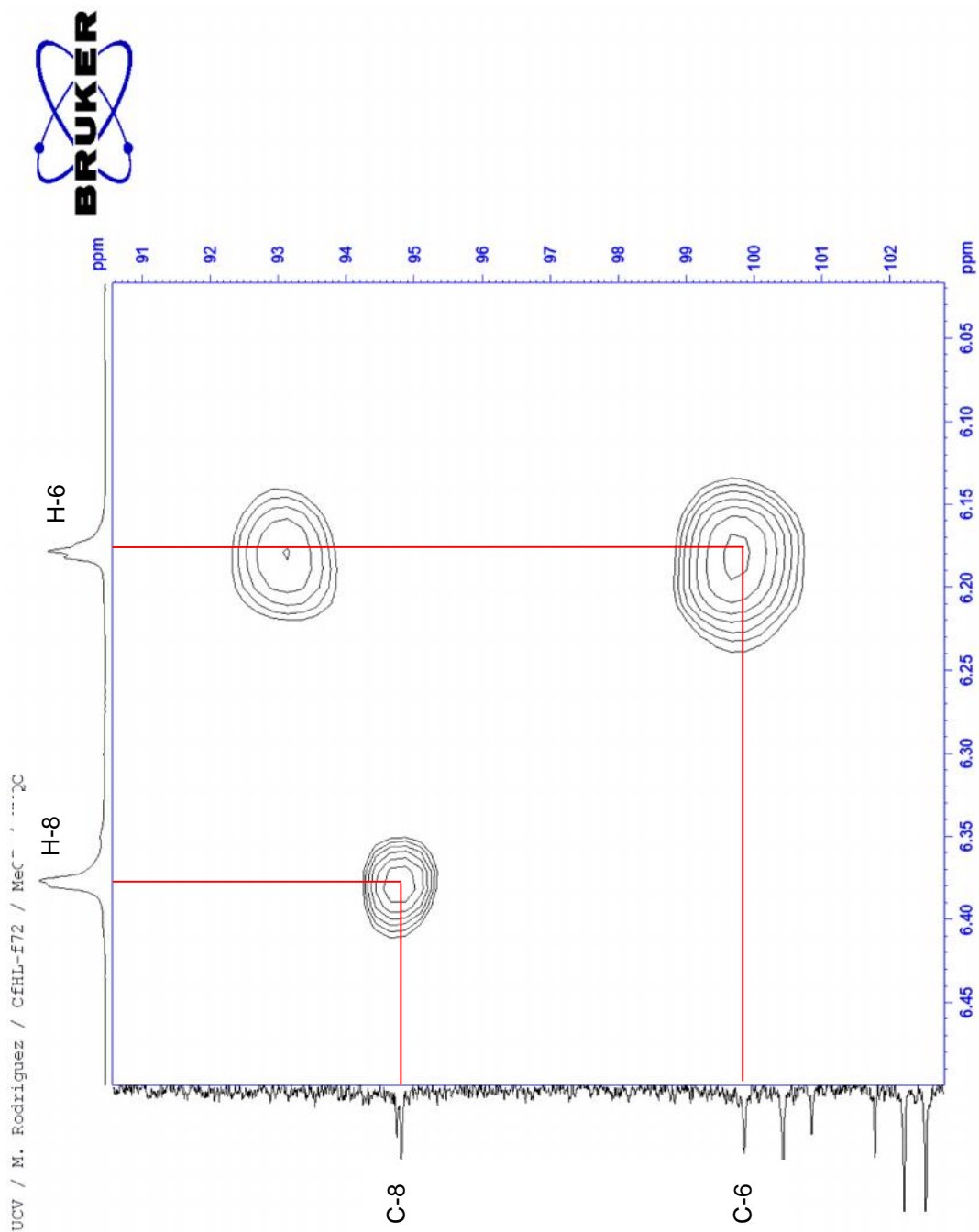
UCV / M. Rodriguez / CfHL-f72 / MeOD / Carbono



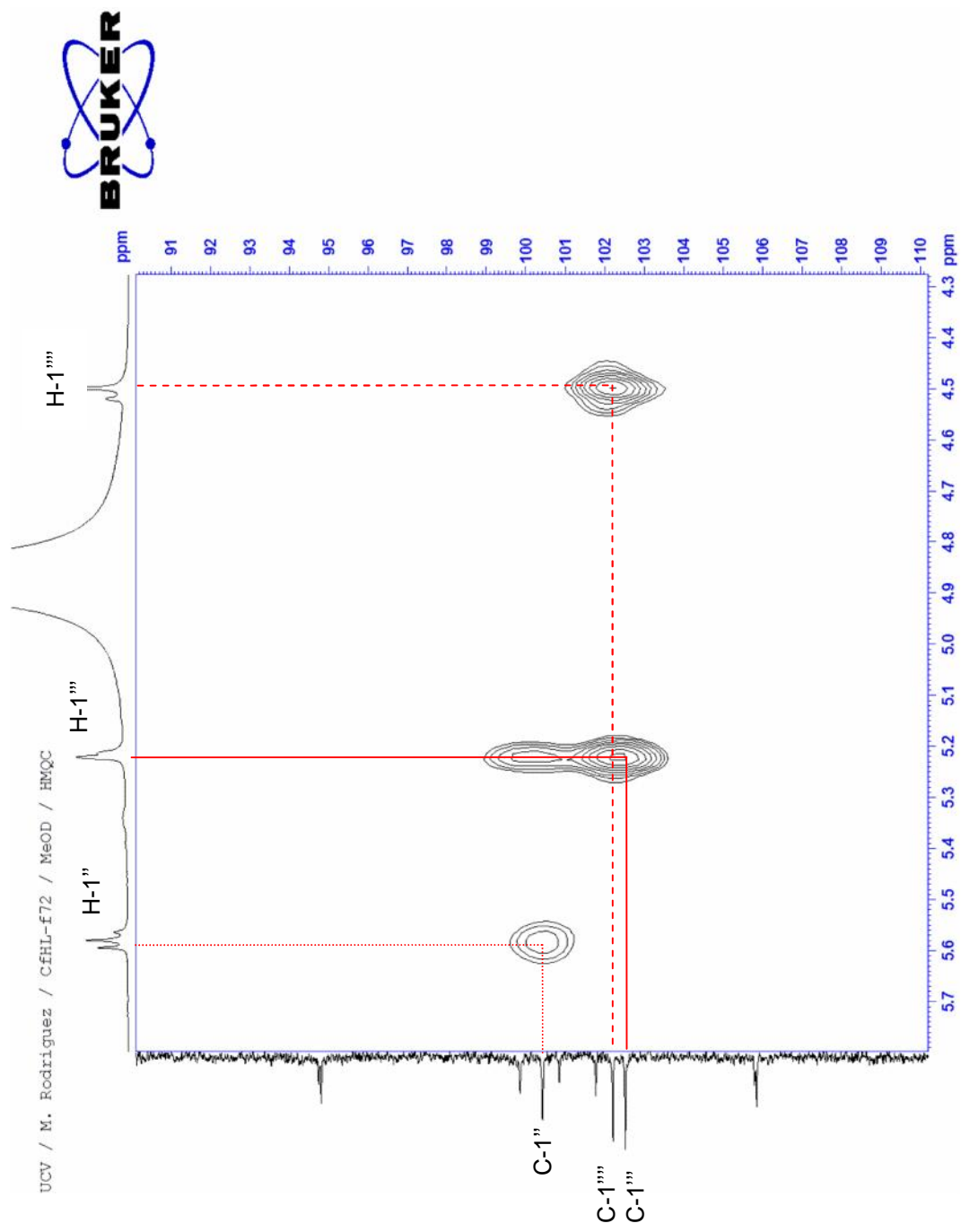
Espectro 88.- Ampliación entre 66-81 ppm del espectro DEPT-135 del compuesto CfH-2 (Kaempferol-3-O-(2''-ramnosil)rutinósido)



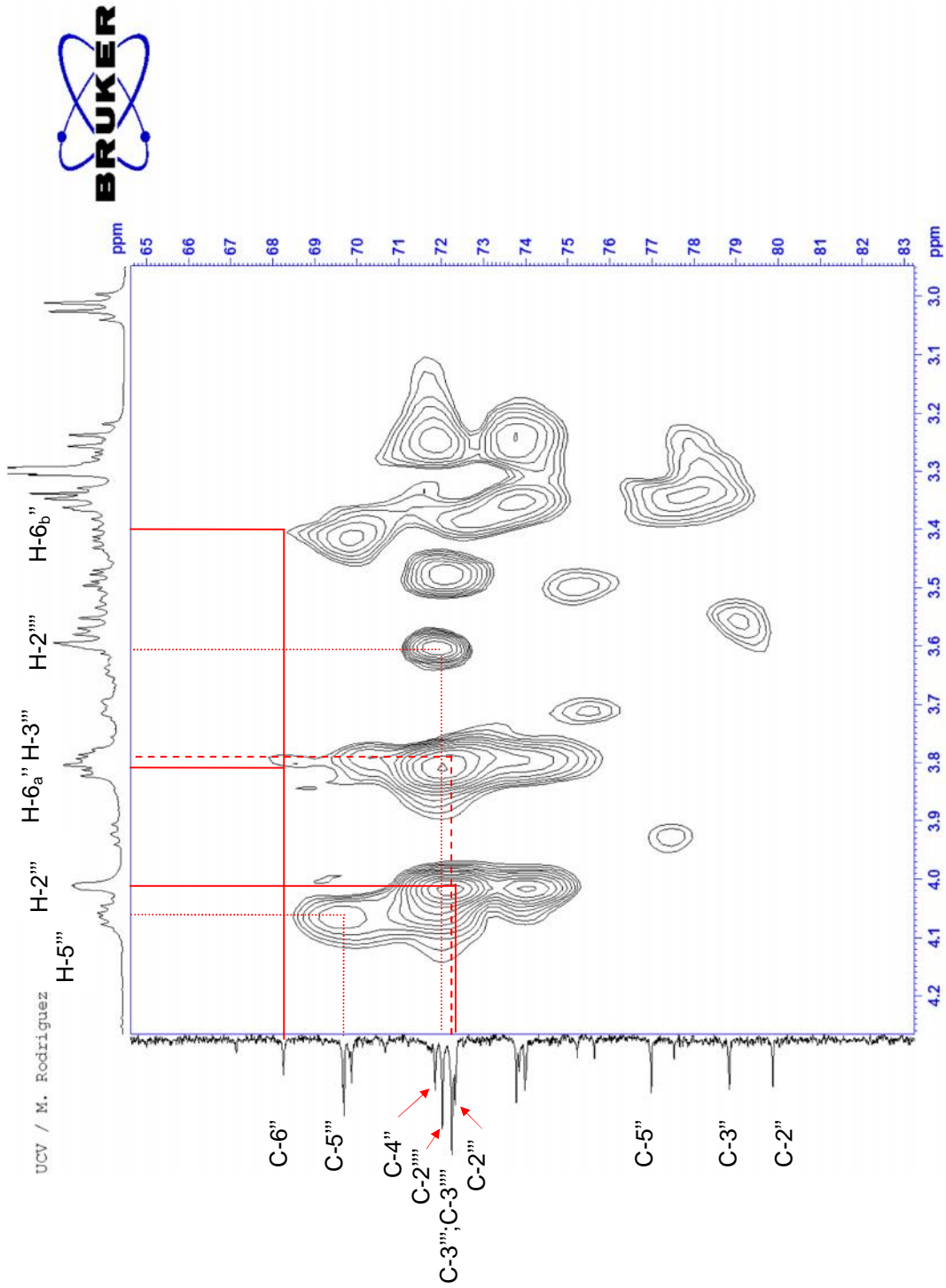
Espectro 89. Espectro HMQC del compuesto CfH-2 (Kaempferol-3-O-(2"-ramnosil)rutinosido)



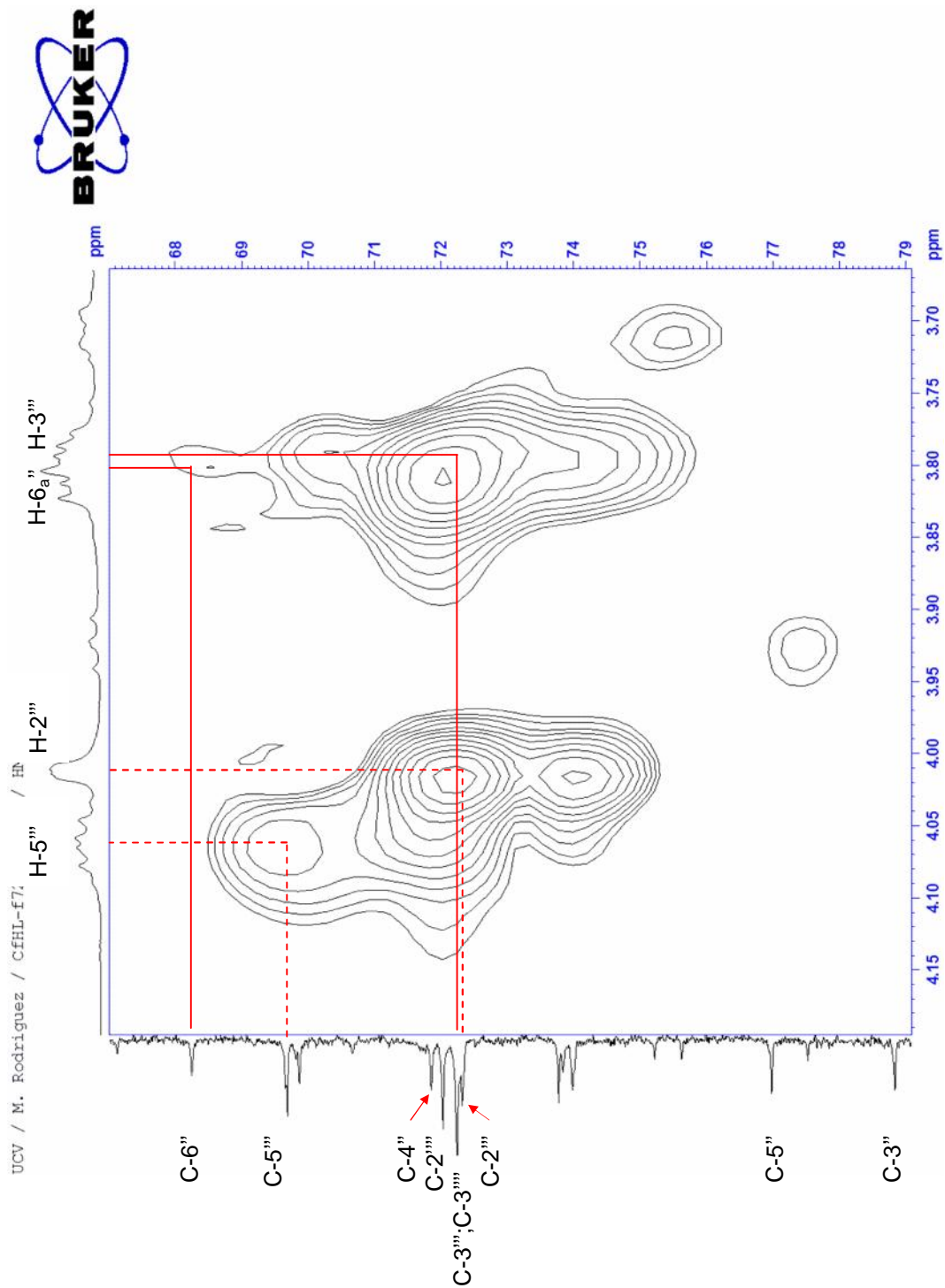
Espectro 90. Ampliación entre 6,05-6,45 ppm en F2 del espectro HMQC del compuesto CfH-2 (Kaempferol-3-O-(2''-ramnosil)rutinósido)).



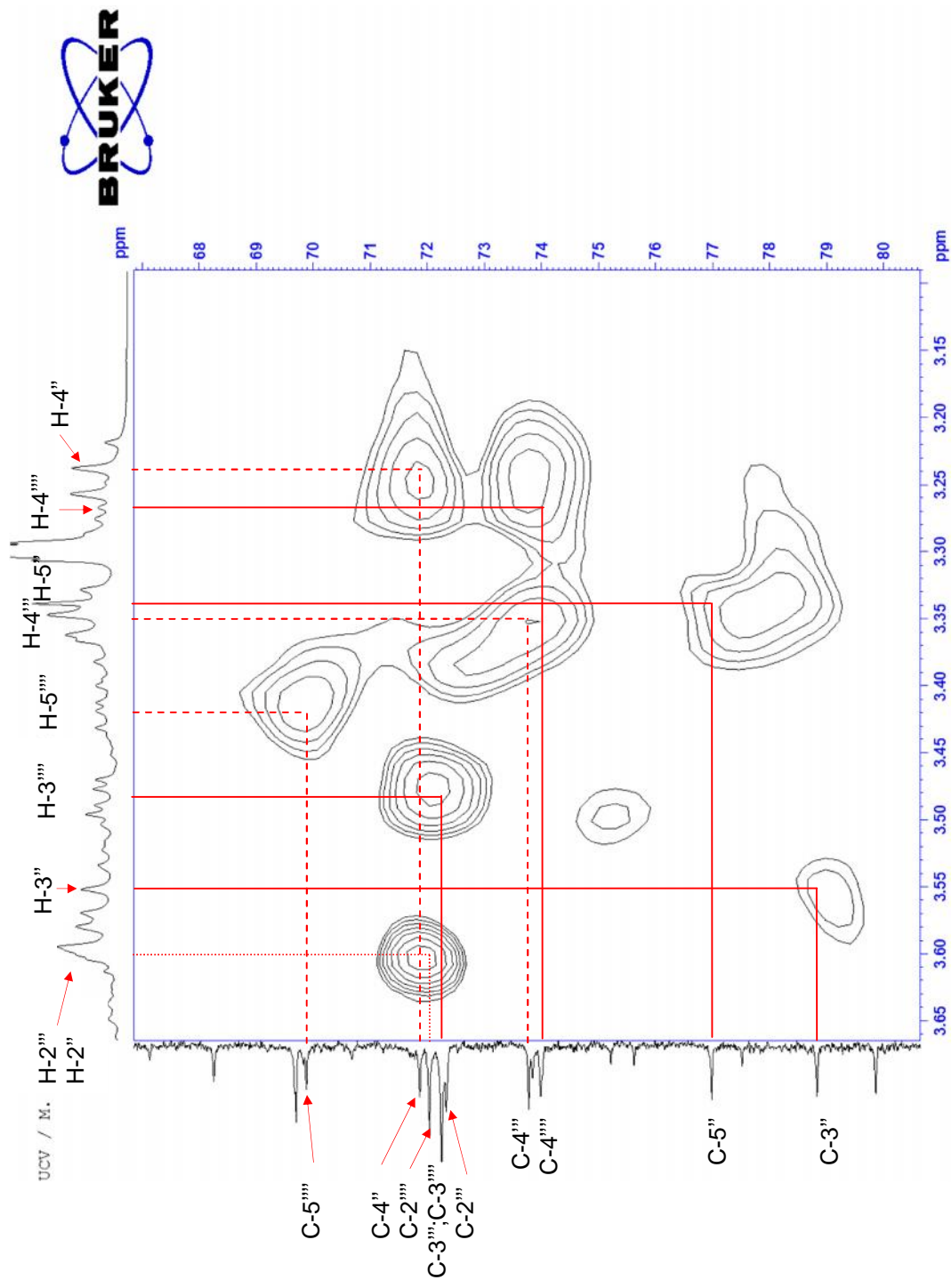
Espectro 91. Ampliación entre 4,3-5,7 ppm en F2 del espectro HMQC del compuesto C6H-2 (Kaempferol-3-O-(2''-ramnosil)rutinosido)).



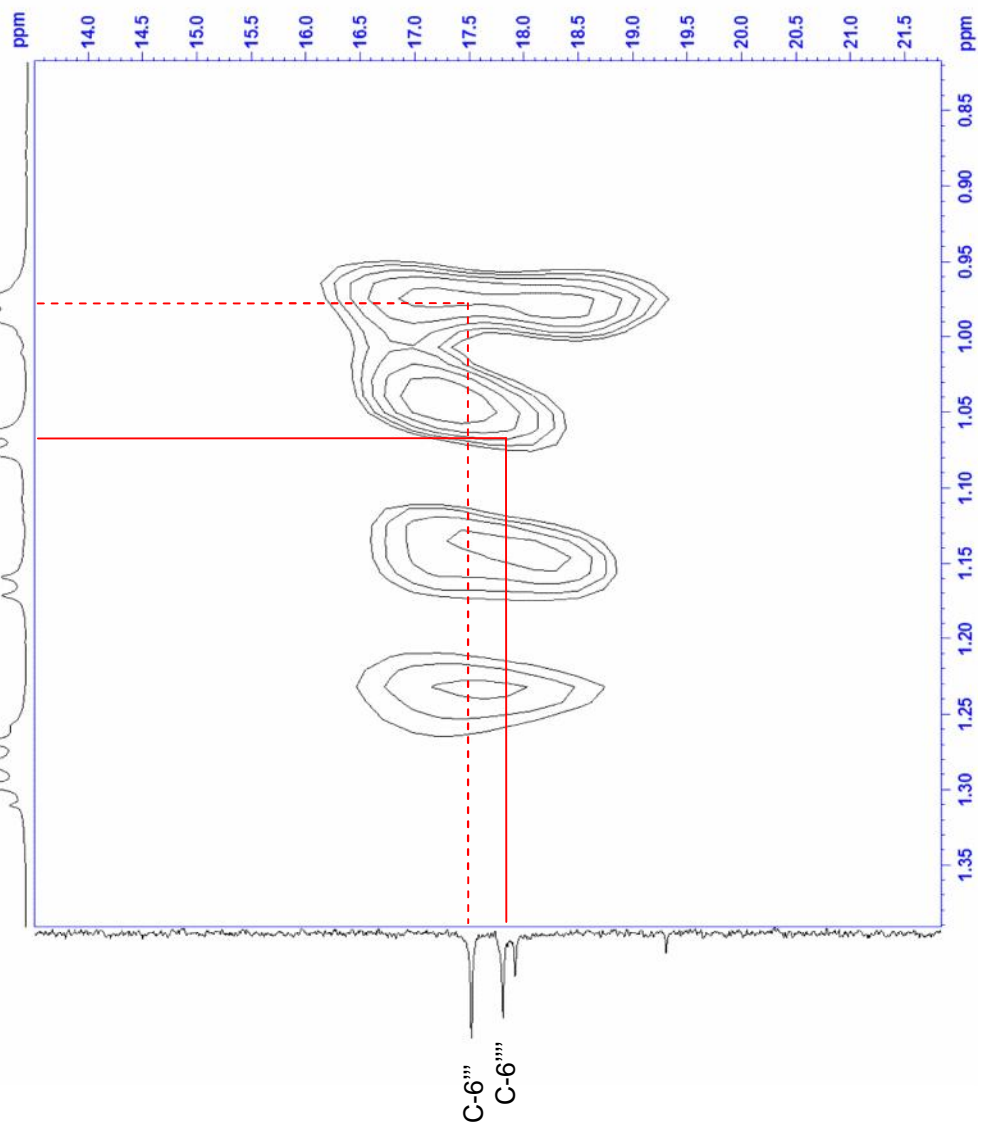
Espectro 92. Ampliación entre 3,0-4,2 ppm en F2 del espectro HMQC del compuesto C₁H₂ (Kaempferol-3-O-(2"-ramnosil)rutinosido)).



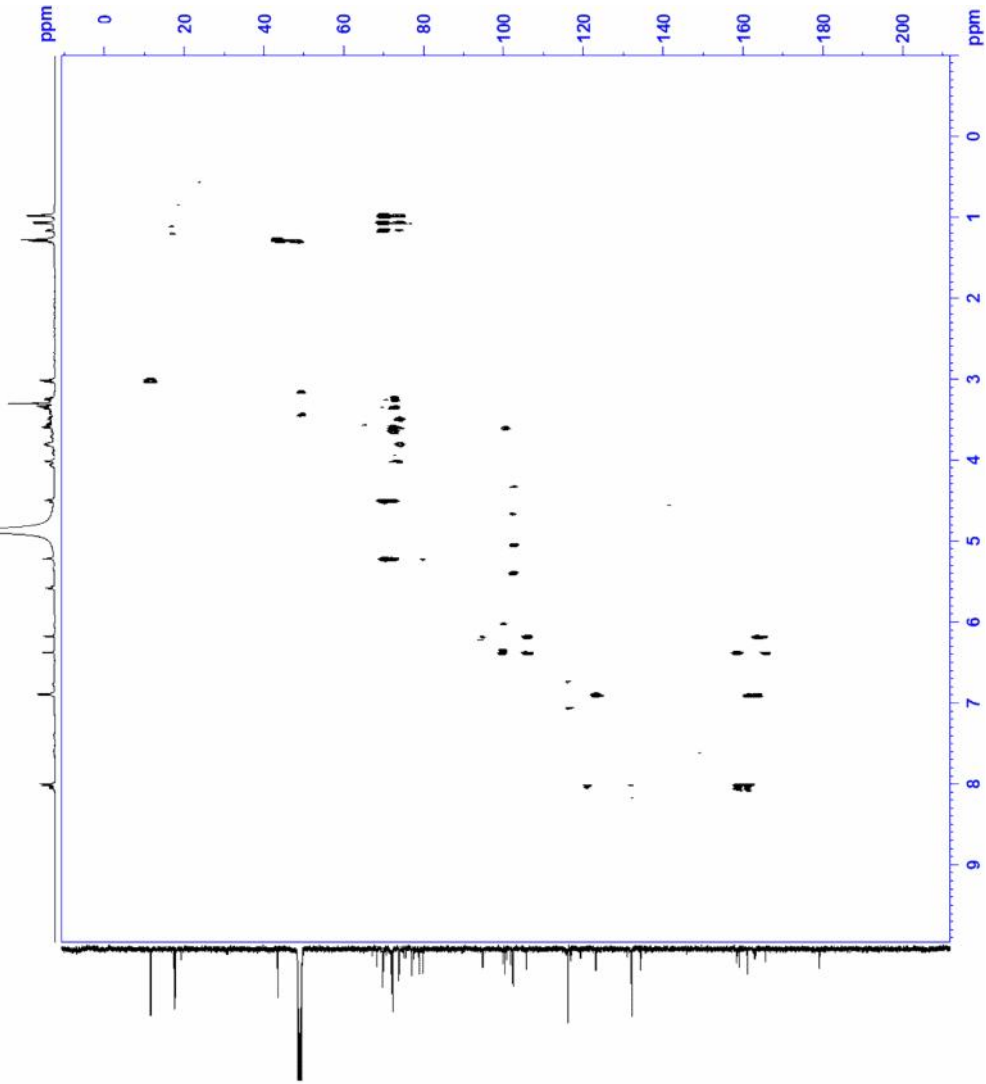
Espectro 93. Ampliación entre 3,7-4,2 ppm en F2 del espectro HMQC del compuesto C₆H₂ (Kaempferol-3-O-(2''-ramnosil)rutinosido)).



Espectro 94. Ampliación entre 3,1-3,7 ppm en F2 del espectro HMQC del compuesto C₁H-2 (Kaempferol-3-O-(2''-ramnosil)rutinosido)).



Espectro 95. Ampliación entre 0,8-1,3 ppm en F2 del espectro HMQC del compuesto CfH-2 (Kaempferol-3-O-(2"-ramnosil)rutinosido)).

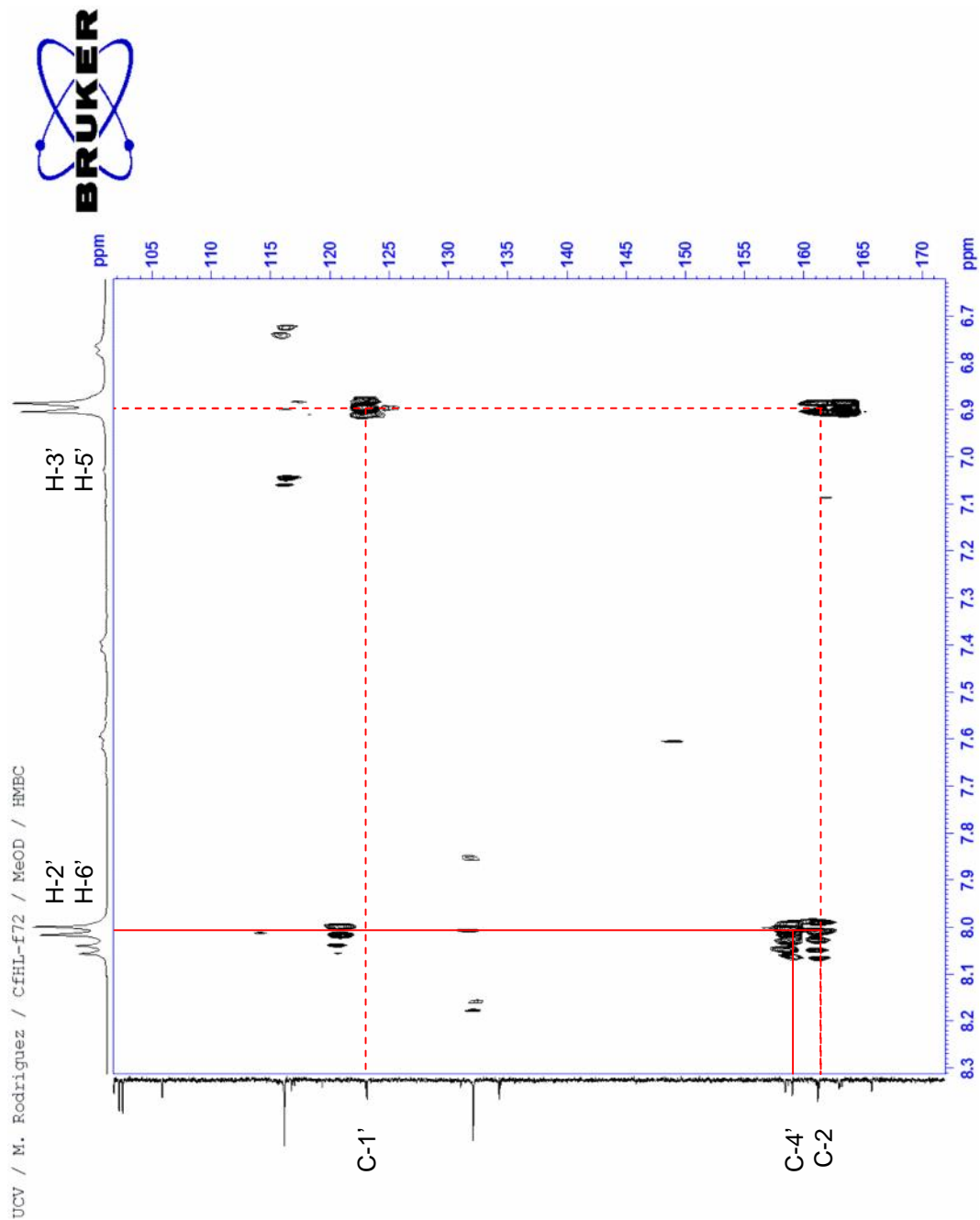


```

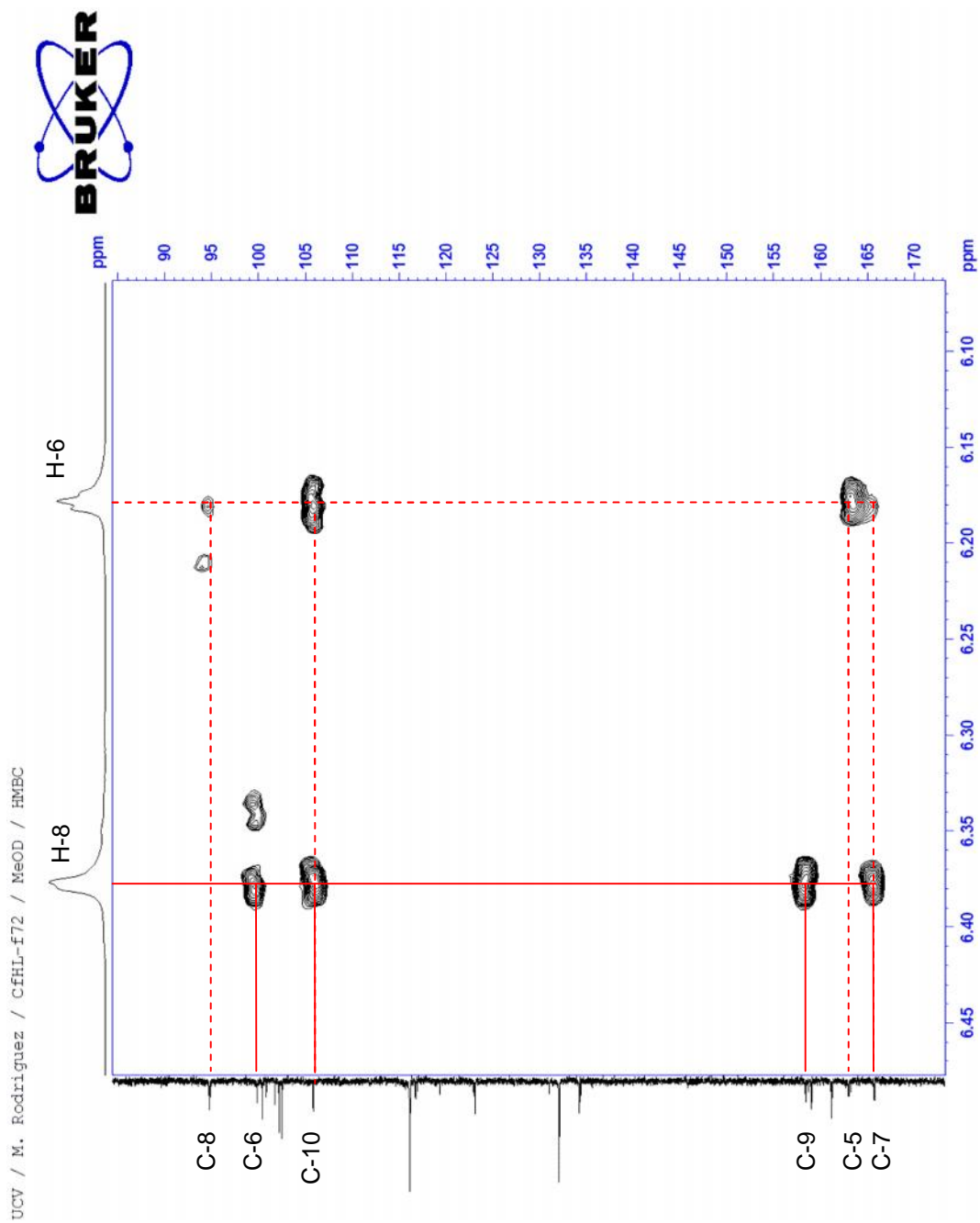
Current Data Parameters
=====
EXPNO          2
PROCNO         1
Date_          20100505
Time           14.13
PROBHD        5 mm TBI 1H/13
PULPROG       zgpg30
F2 - Acquisition Parameters
=====
SOLVENT       MeOD
NS            64
DS            4
SWH           5487.462 Hz
FIDRES       1.333840 Hz
AQ           0.371884 sec
RG            91.7200 usec
WDW           EM
SSB           0
LB            2.800 usec
GB            0
PC            1.40
=====
CHST2         145.0000000
CHST13        10.0000000
D1            1.8000000 sec
D2            0.0304820 sec
D3            0.0304820 sec
D5            0.0300000 sec
D6            0.0300000 sec
D7            0.0300000 sec
D8            0.0300000 sec
D9            0.0300000 sec
D10           0.0300000 sec
===== CHANNEL f1 =====
NUC1          13C
P1            19.00 usec
PL1           0.00 dB
SFO1          500.024501 MHz
===== CHANNEL f2 =====
NUC2          1H
P2            13.00 usec
PL2           0.00 dB
SFO2          125.7450915 MHz
===== GRADIENT CHANNEL =====
GRADN1        SINE.100
GRADN2        SINE.100
GRADN3        SINE.100
GRADN4        SINE.100
GRADN5        SINE.100
GRADN6        SINE.100
GRADN7        SINE.100
GRADN8        SINE.100
GRADN9        SINE.100
GRADN10       SINE.100
=====
F1 - Acquisition Parameters
=====
NUC1          13C
P1            19.00 usec
PL1           0.00 dB
SFO1          500.024501 MHz
=====
F2 - Processing parameters
=====
SI            32768
SF            500.0345133 MHz
WDW           EM
SSB           0.00 Hz
GB            0.00 Hz
PC            1.40
=====
F1 - Processing parameters
=====
SI            32768
SF            125.7451 MHz
WDW           EM
SSB           0.00 Hz
GB            0.00 Hz
PC            1.40
=====
F2 - Processing parameters
=====
SI            32768
SF            125.7324464 MHz
WDW           EM
SSB           0.00 Hz
GB            0.00 Hz
PC            1.40
=====

```

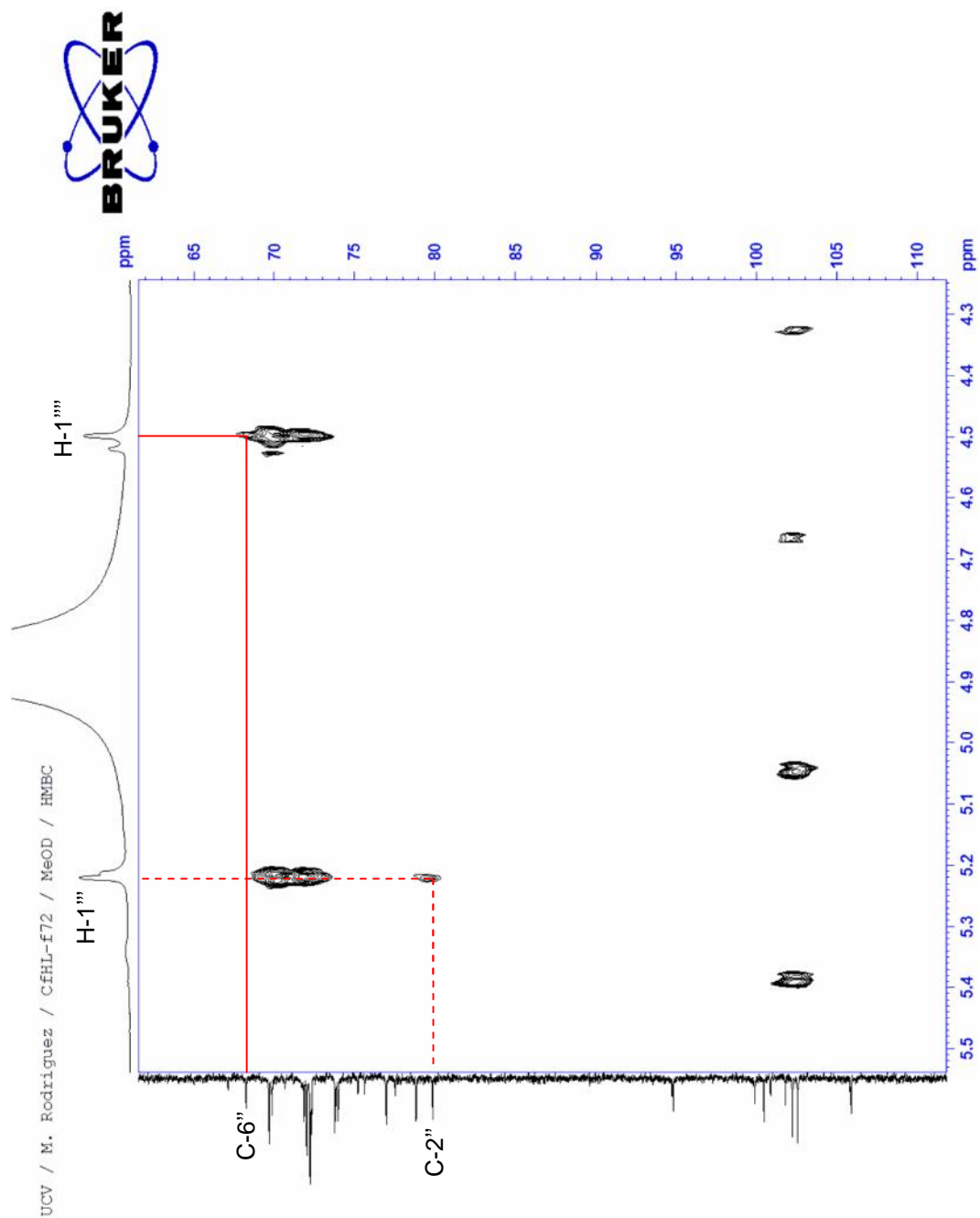
Espectro 96. Espectro HMBC del compuesto CfH-2 (Kaempferol-3-O-(2''-ramnosil)rutinosido).



Espectro 97. Ampliación entre 6,7-8,3 ppm en F2 del espectro HMBC del compuesto CfH-2 (Kaempferol-3-O-(2''-ramnosil)rutinósido)).

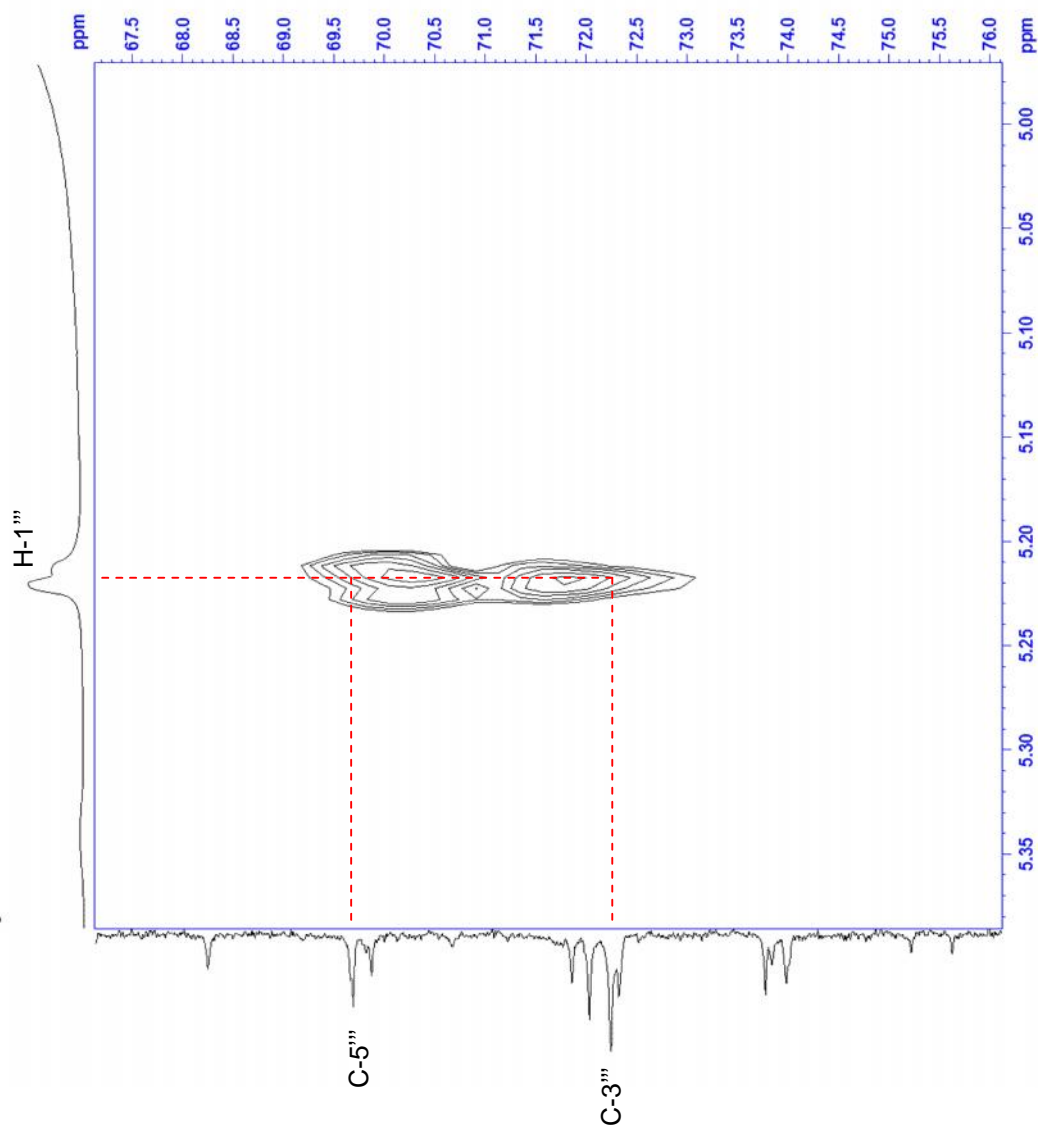


Espectro 98. Ampliación entre 6,1-6,5 ppm en F2 del espectro HMBC del compuesto CfH-2 (Kaempferol-3-O-(2''-ramnosil)rutinosido)).

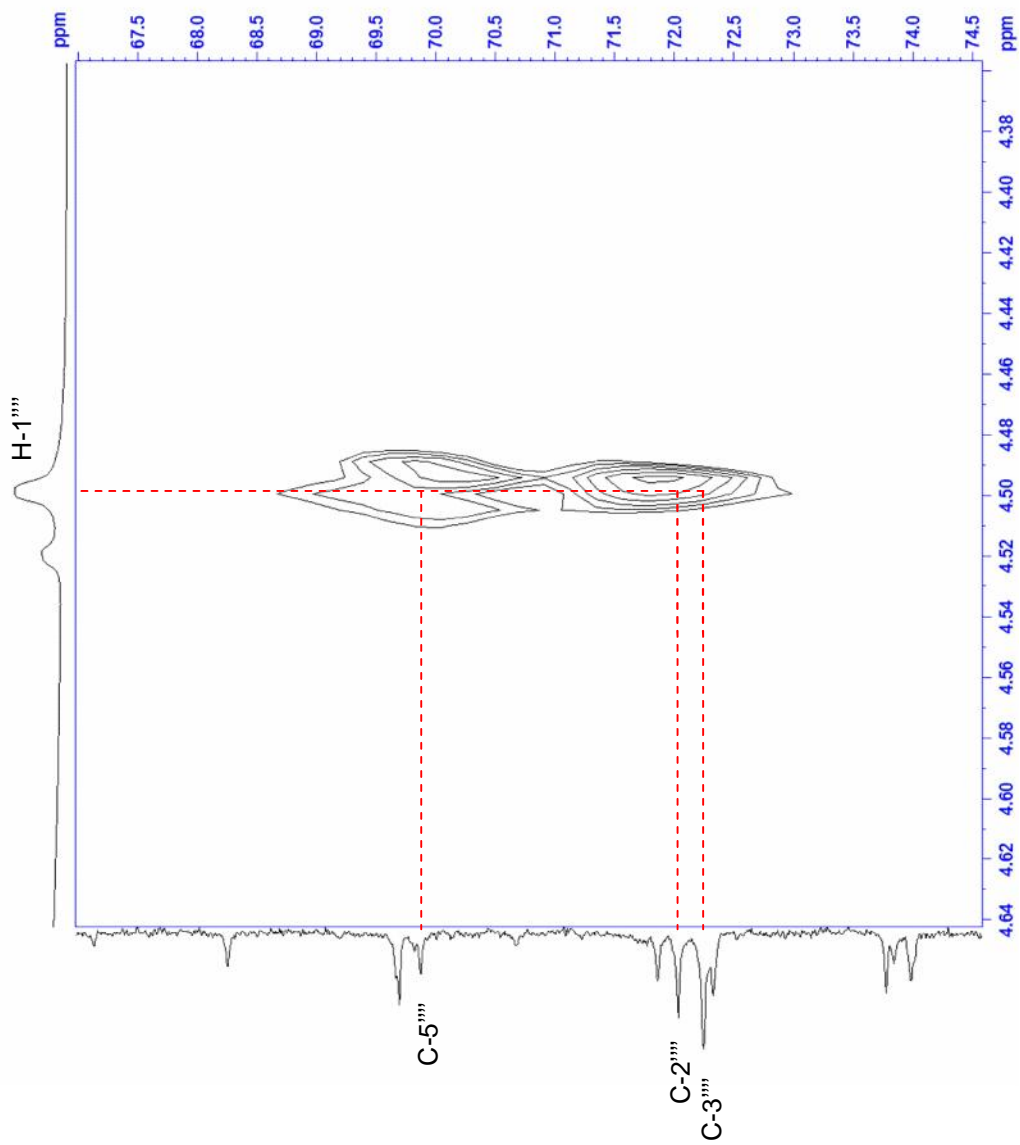


Espectro 99. Ampliación entre 4,3-5,5 ppm en F2 del espectro HMBC del compuesto C₆H₄-2 (Kaempferol-3-O-(2''-ramnosil)rutinosido)).

UCV / M. Rodriguez / CfHL-f72 / MeOD / HMBc

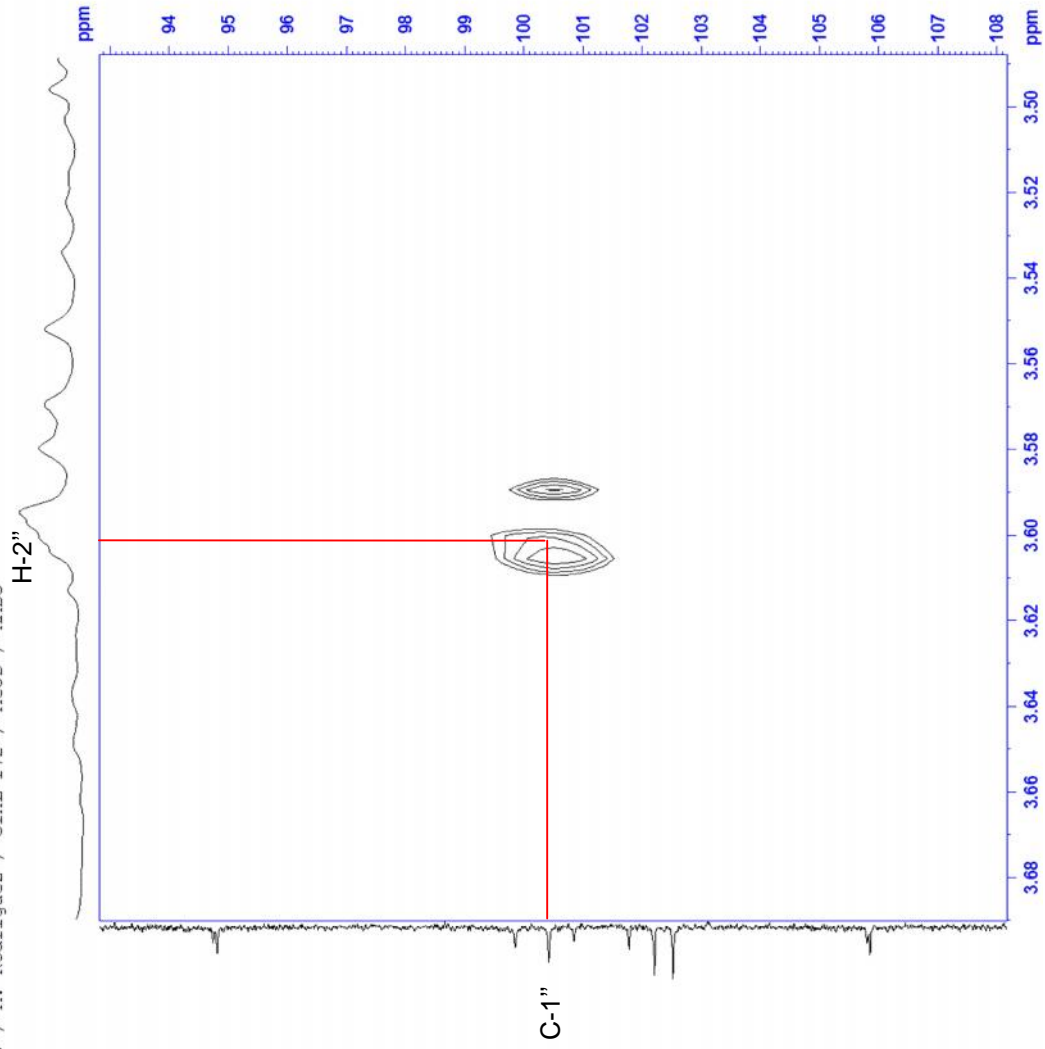


Espectro 100. Ampliación entre 5,0-5,4 ppm en F2 del espectro HMBc del compuesto CfH-2 (Kaempferol-3-O-(2''-ramnosil)rutinosido).

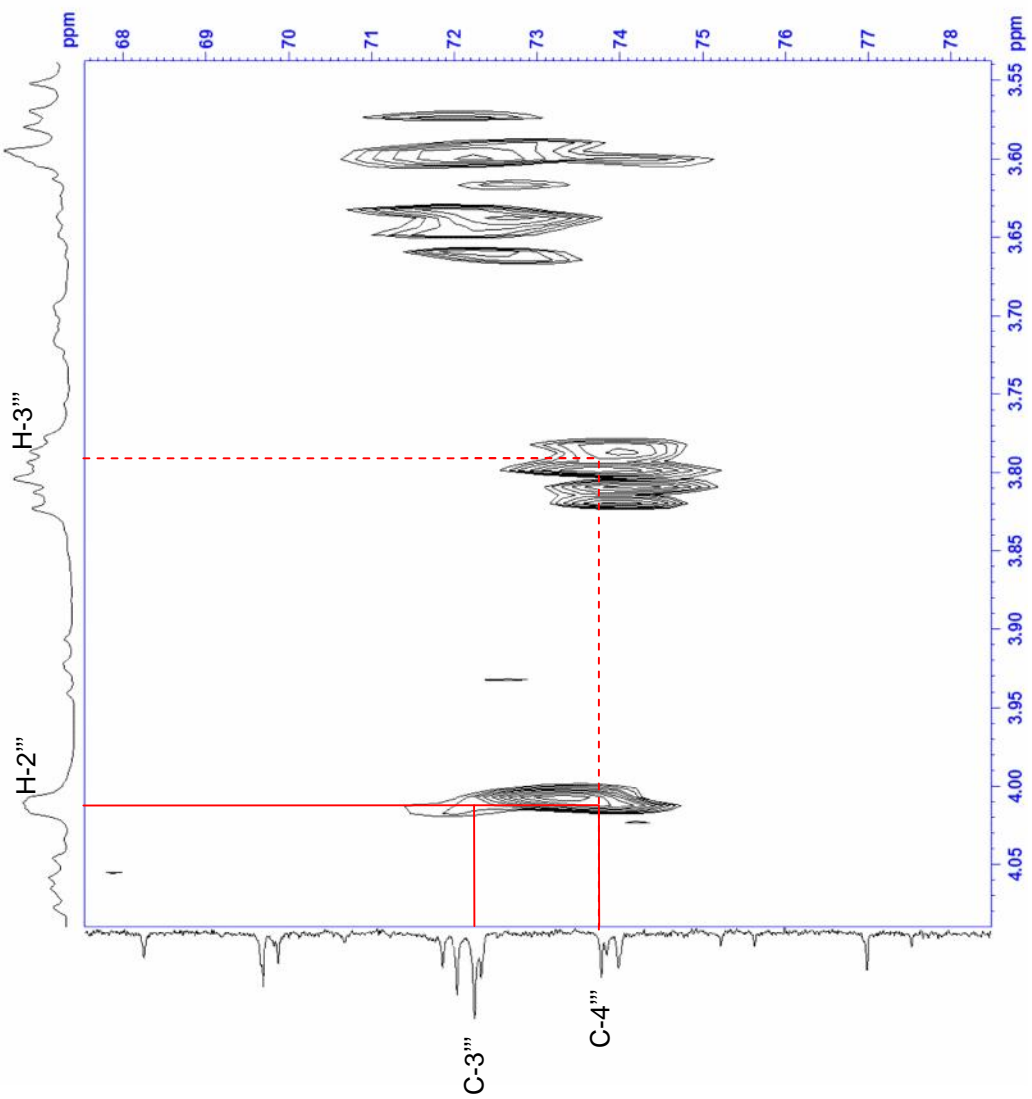


Espectro 101. Ampliación entre 4,3-4,6 ppm en F2 del espectro HMB del compuesto CfH-2 (Kaempferol-3-O-(2''-ramnosil)rutinosido).

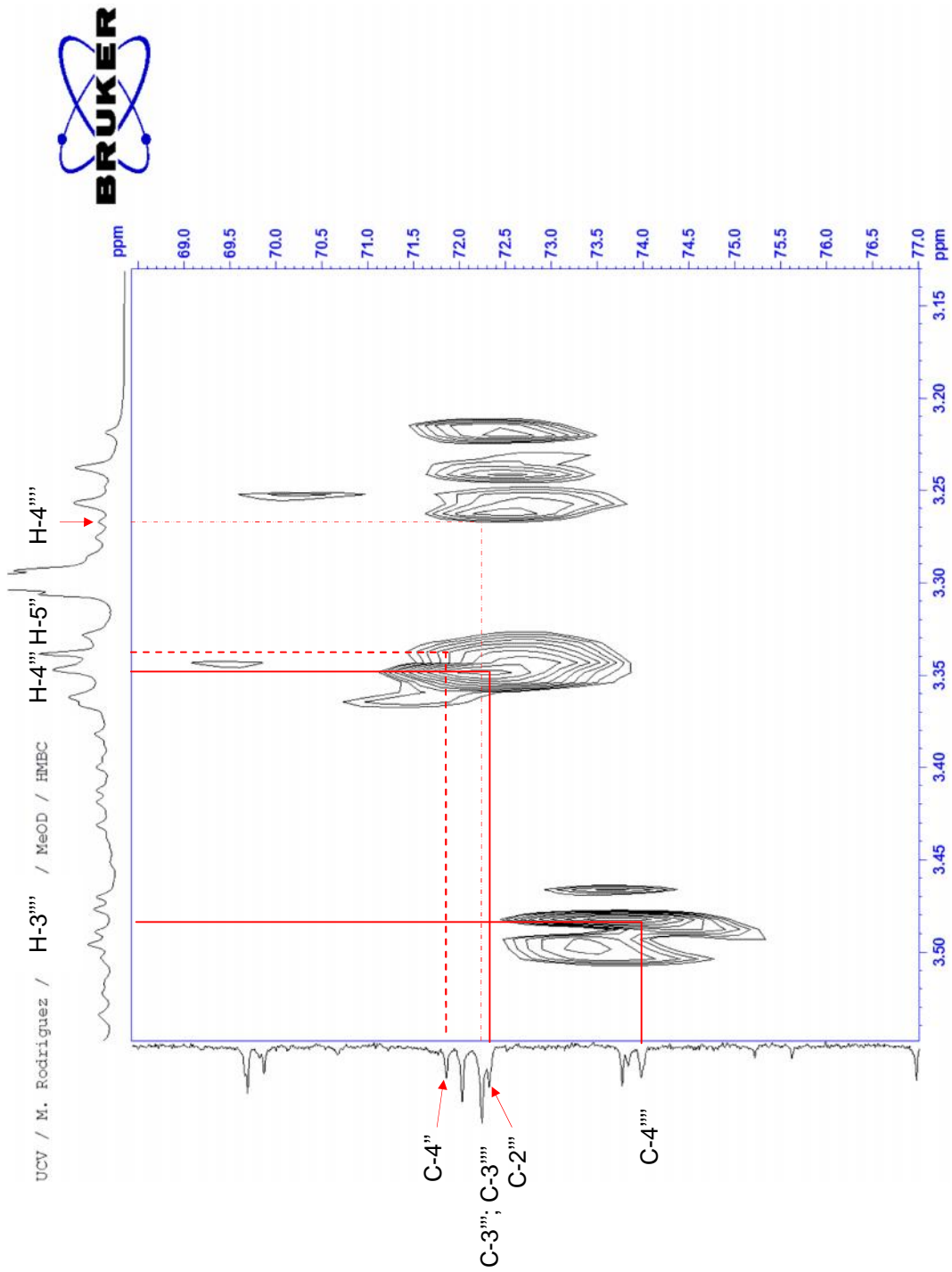
UCV / M. Rodriguez / CFHL-f72 / MeOD / HMB



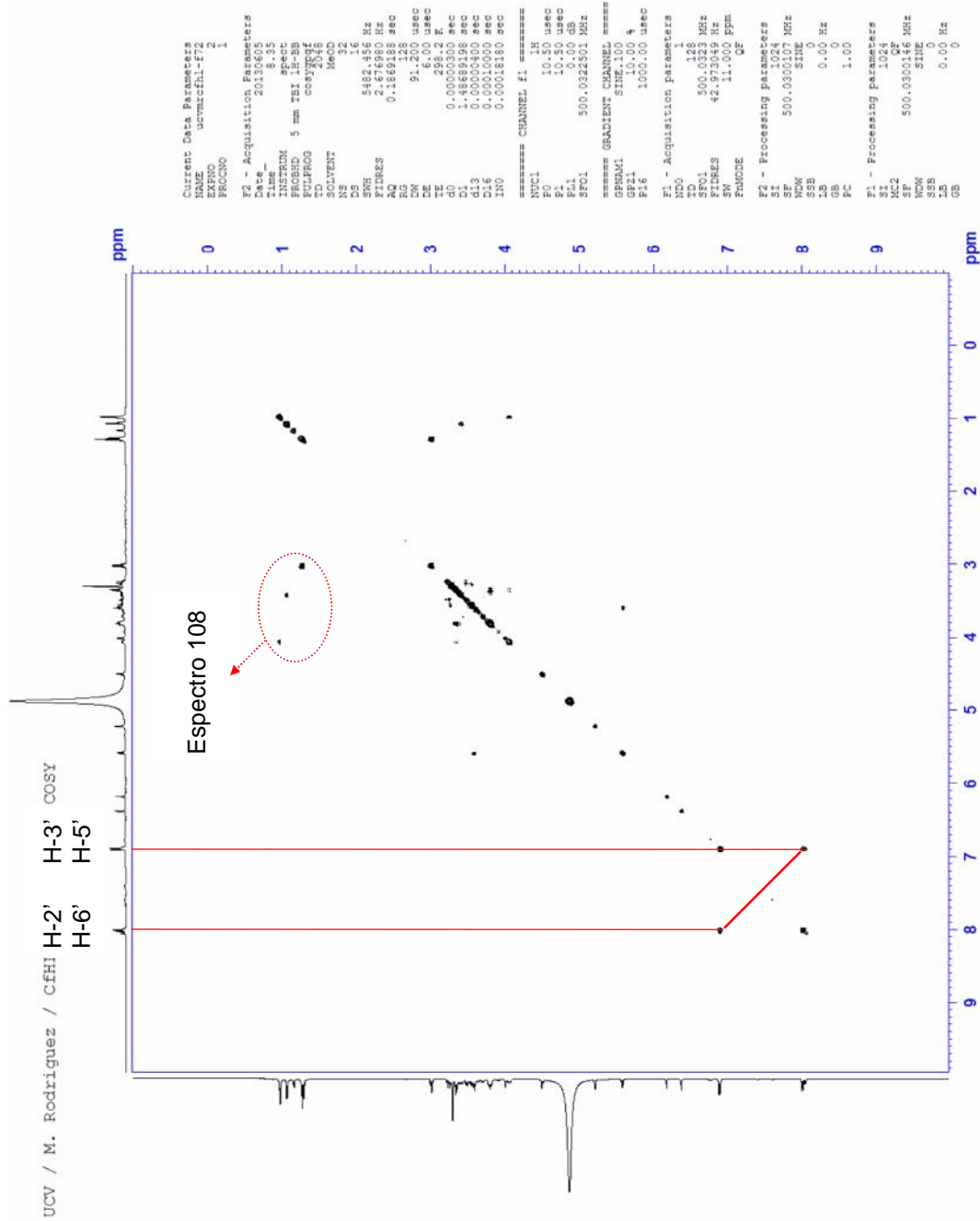
Espectro 102. - Ampliación entre 3,5-3,7 ppm en F2 del espectro HMB del compuesto C₁H₂ (Kaempferol-3-O-(2''-ramnosil)rutinósido)).



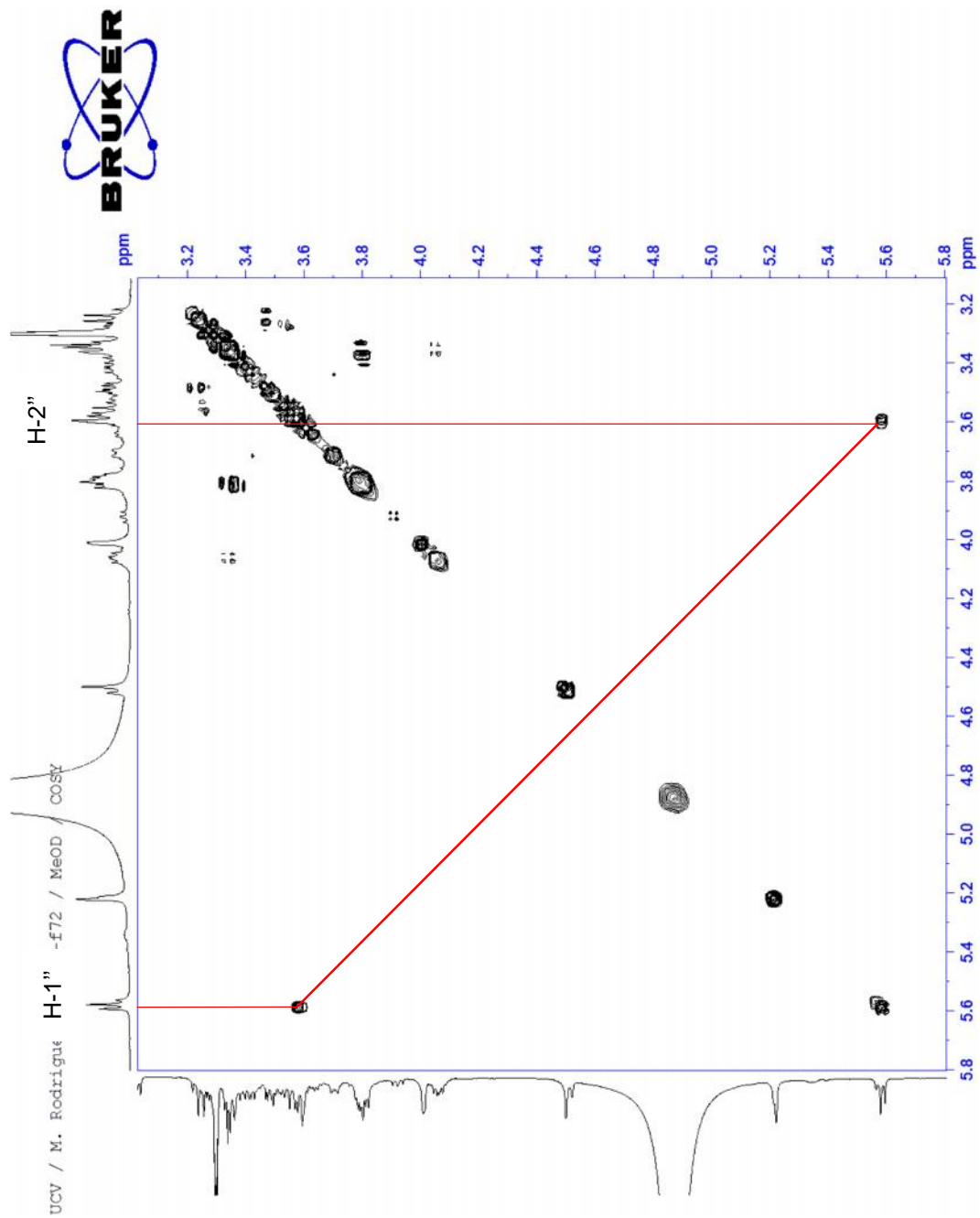
Espectro 103.- Ampliación entre 3,5-4,1 ppm en F2 del espectro HMBC del compuesto C₁H₂-2 (Kaempferol-3-O-(2''-ramnosil)rutinosido)).



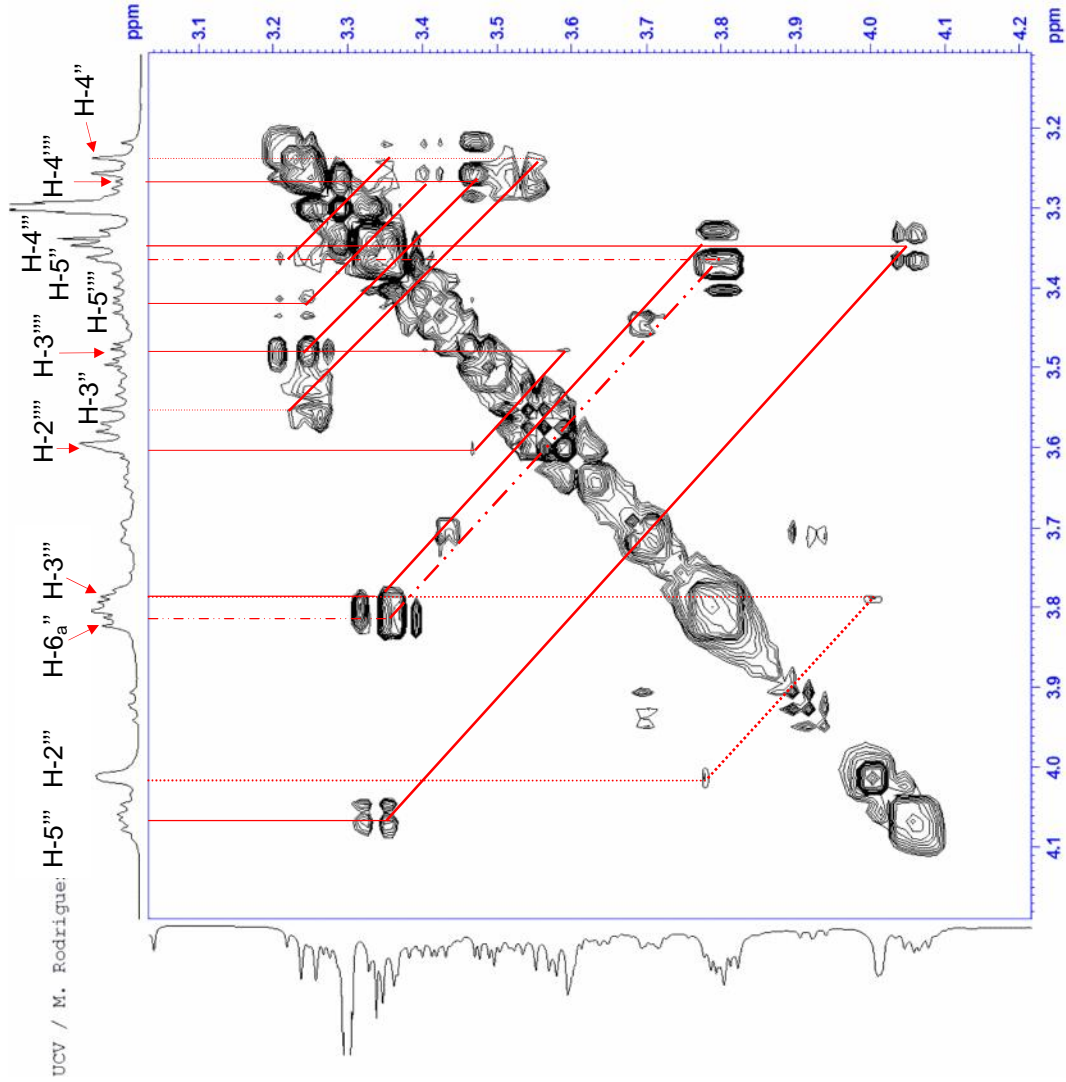
Espectro 104.- Ampliación entre 3,1-3,5 ppm en F2 del espectro HMBG del compuesto C₁H₂ (Kaempferol-3-O-(2''-ramnosil)rutinosido)).



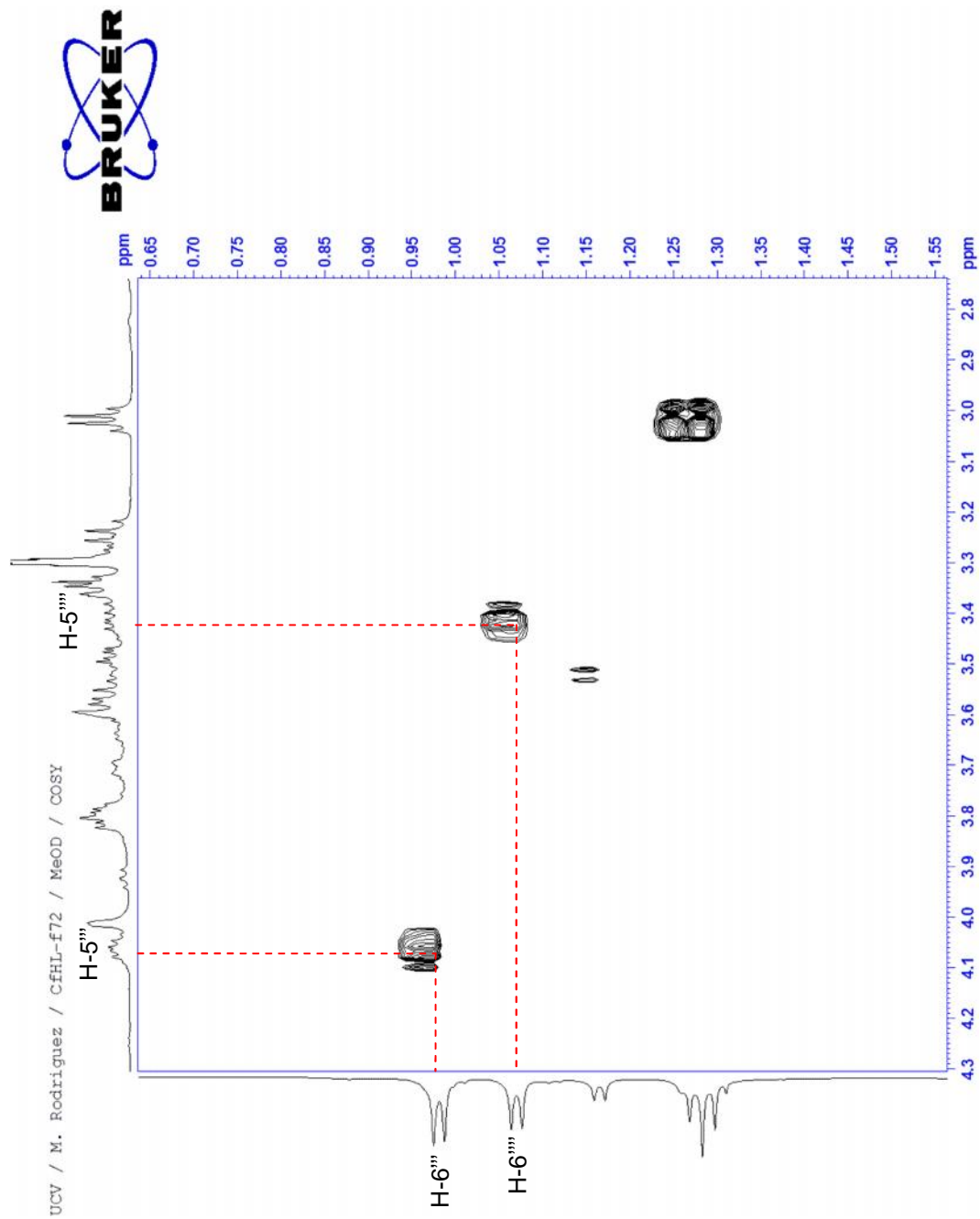
Espectro 105. Espectro COSY del compuesto CfH-2 (Kaempferol-3-O-(2"-ramnosil)rutinosido).



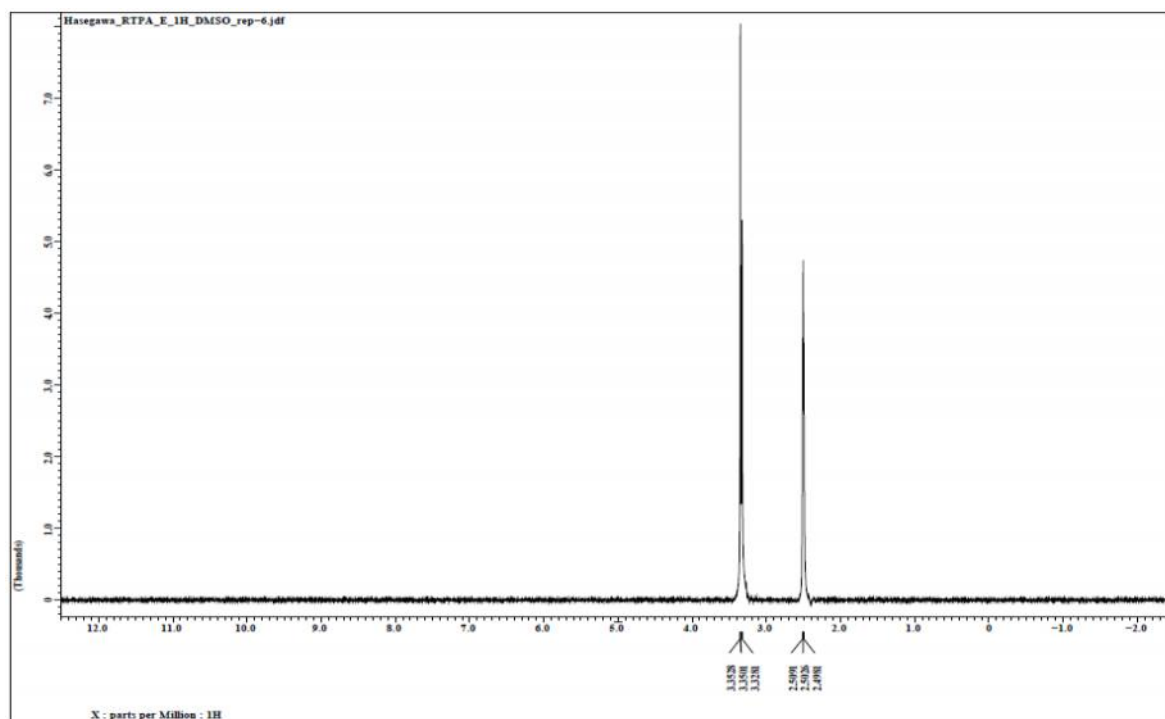
Espectro 106. Ampliación entre 3,2-5,8 ppm del espectro COSY del compuesto CfH-2 (Kaempferol-3-O-(2''-ramnosil)rutinósido)).



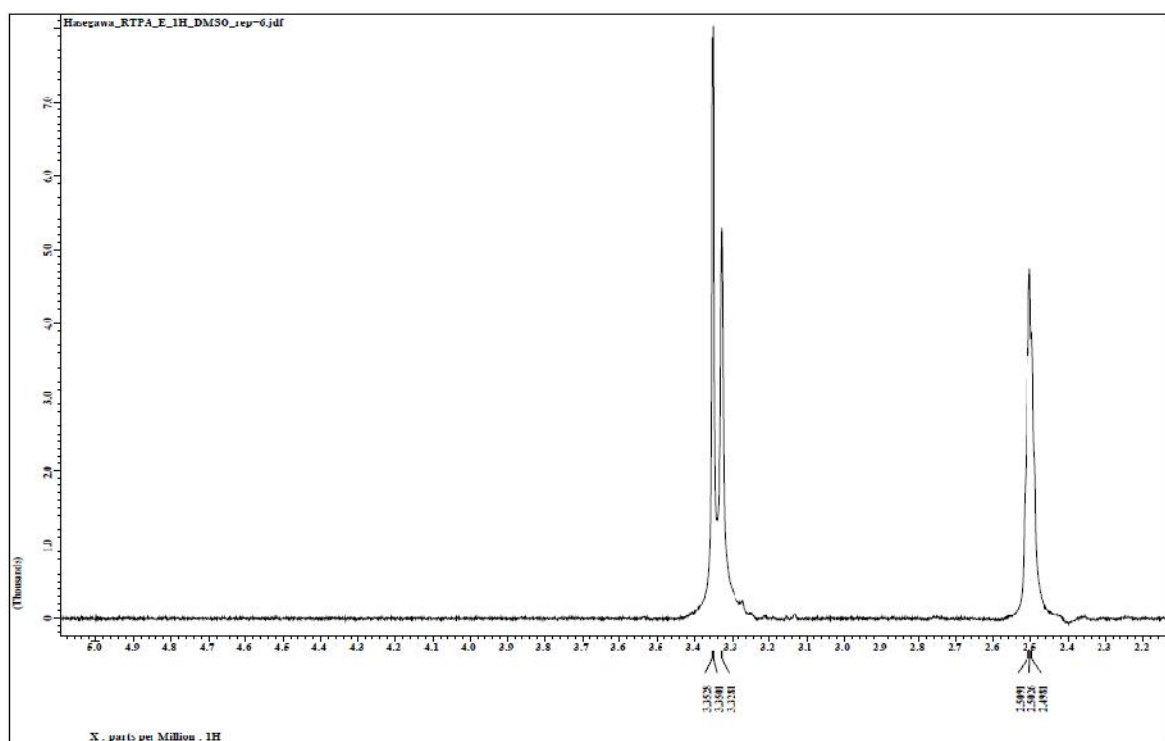
Espectro 107. Ampliación entre 3,2-4,1 ppm del espectro COSY del compuesto CfH-2 (Kaempferol-3-O-(2''-ramnosil)rutinósido)).



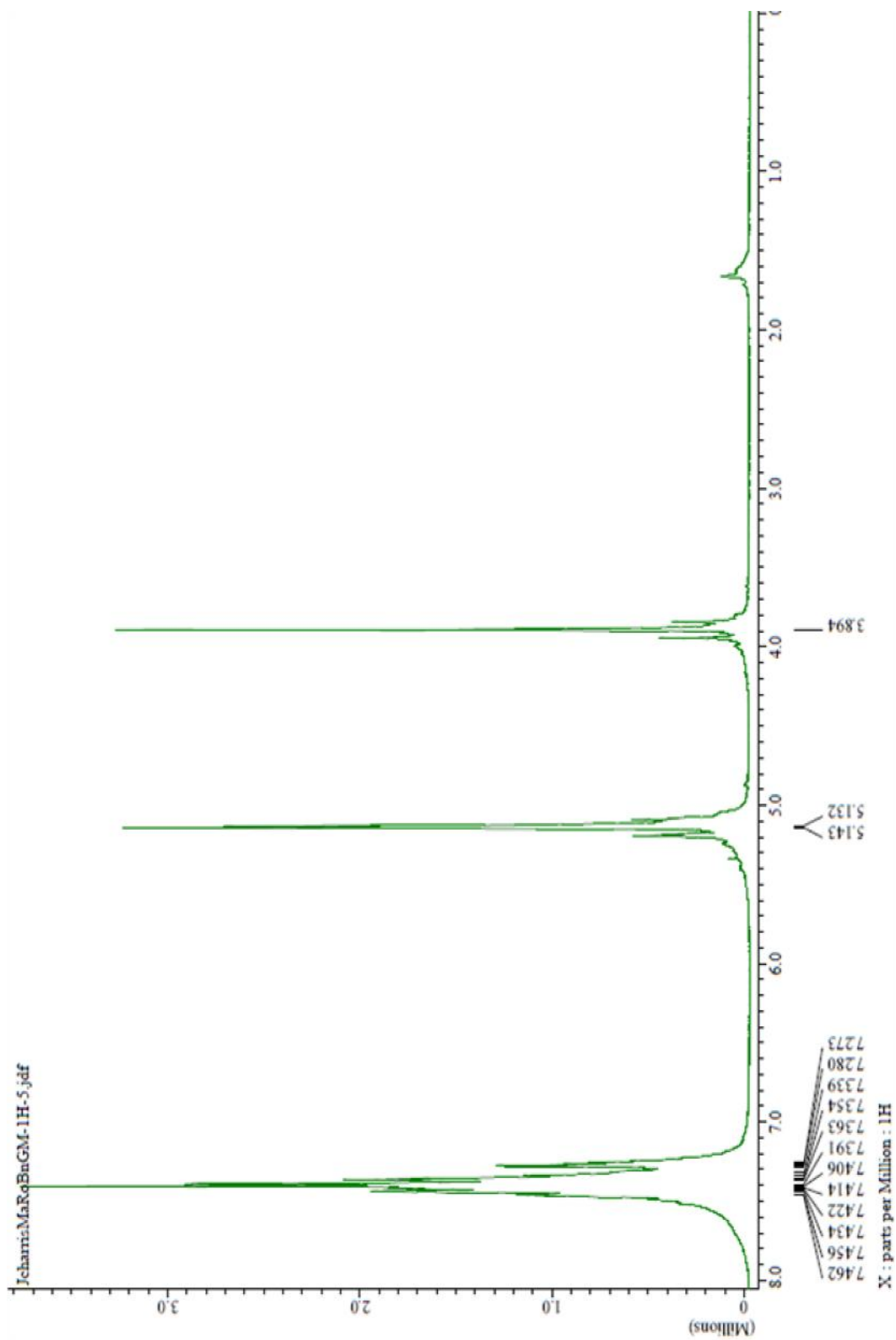
Espectro 108. Ampliación entre 2,8-4,3 ppm del espectro COSY del compuesto CfH-2 (Kaempferol-3-O-(2''-ramnosil)rutinosido)).



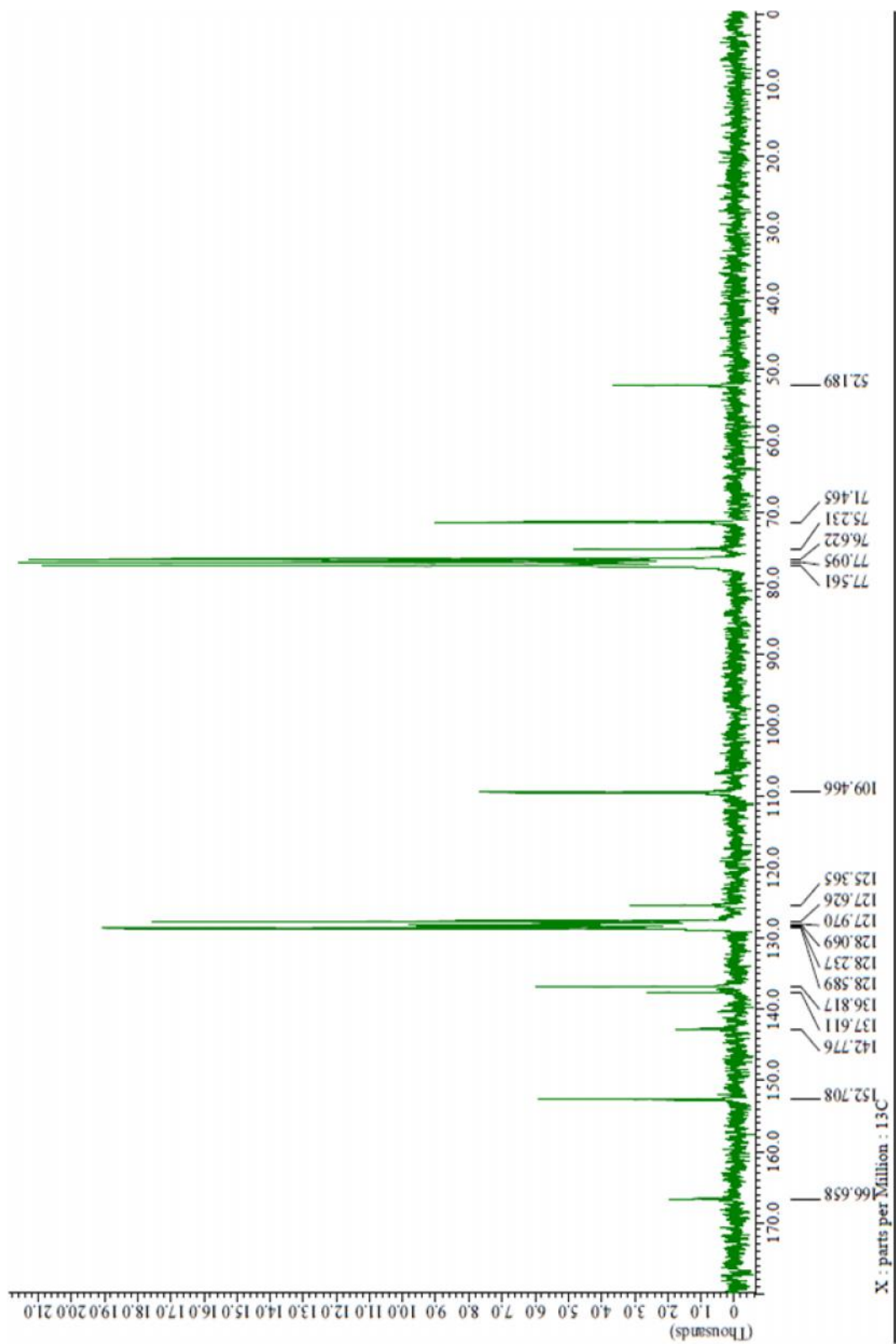
Espectro 109. Espectro RMN-¹H del compuesto RtE.



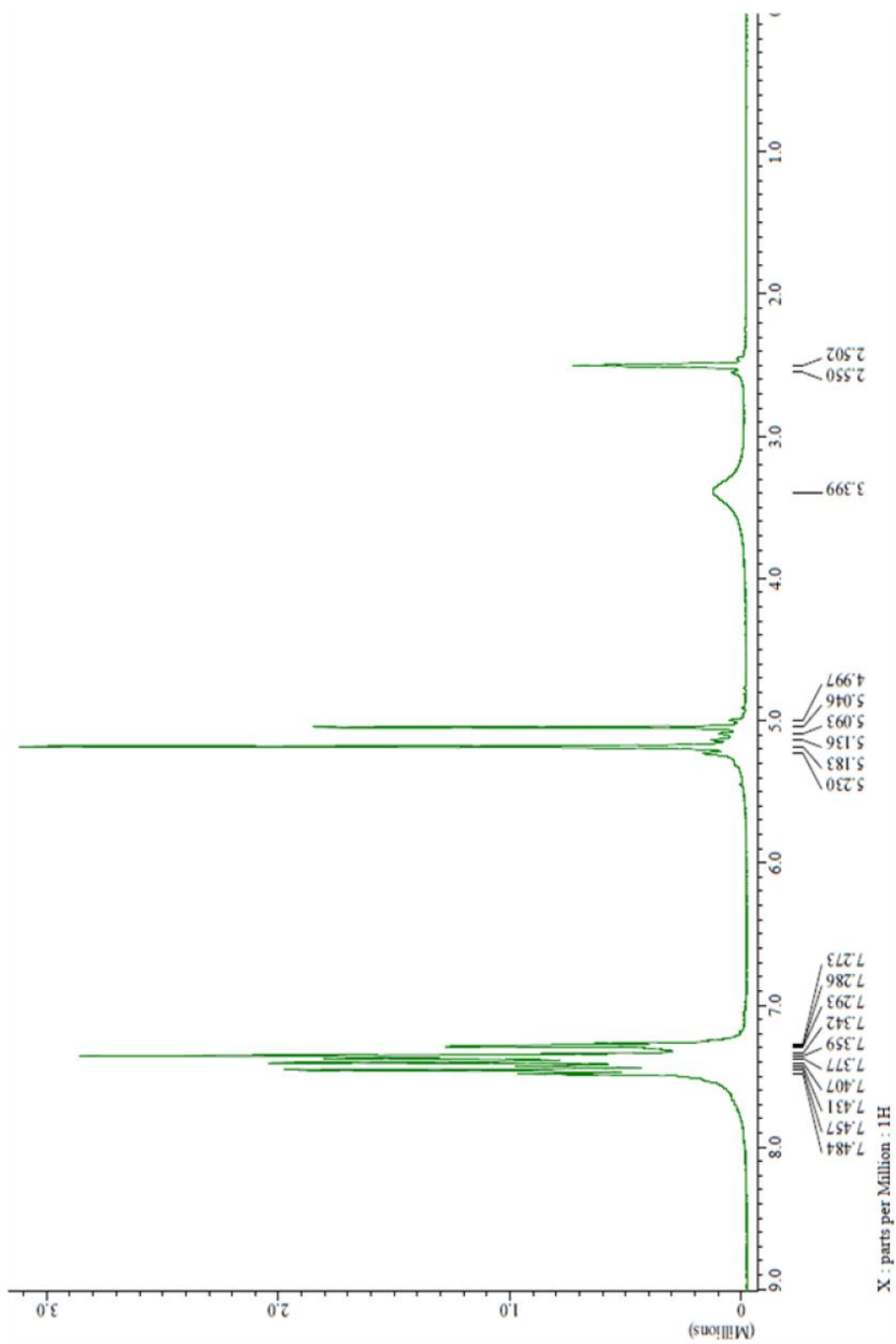
Espectro 110. Ampliación entre 2,2 y 5,0 ppm del espectro RMN-¹H del compuesto RtE.



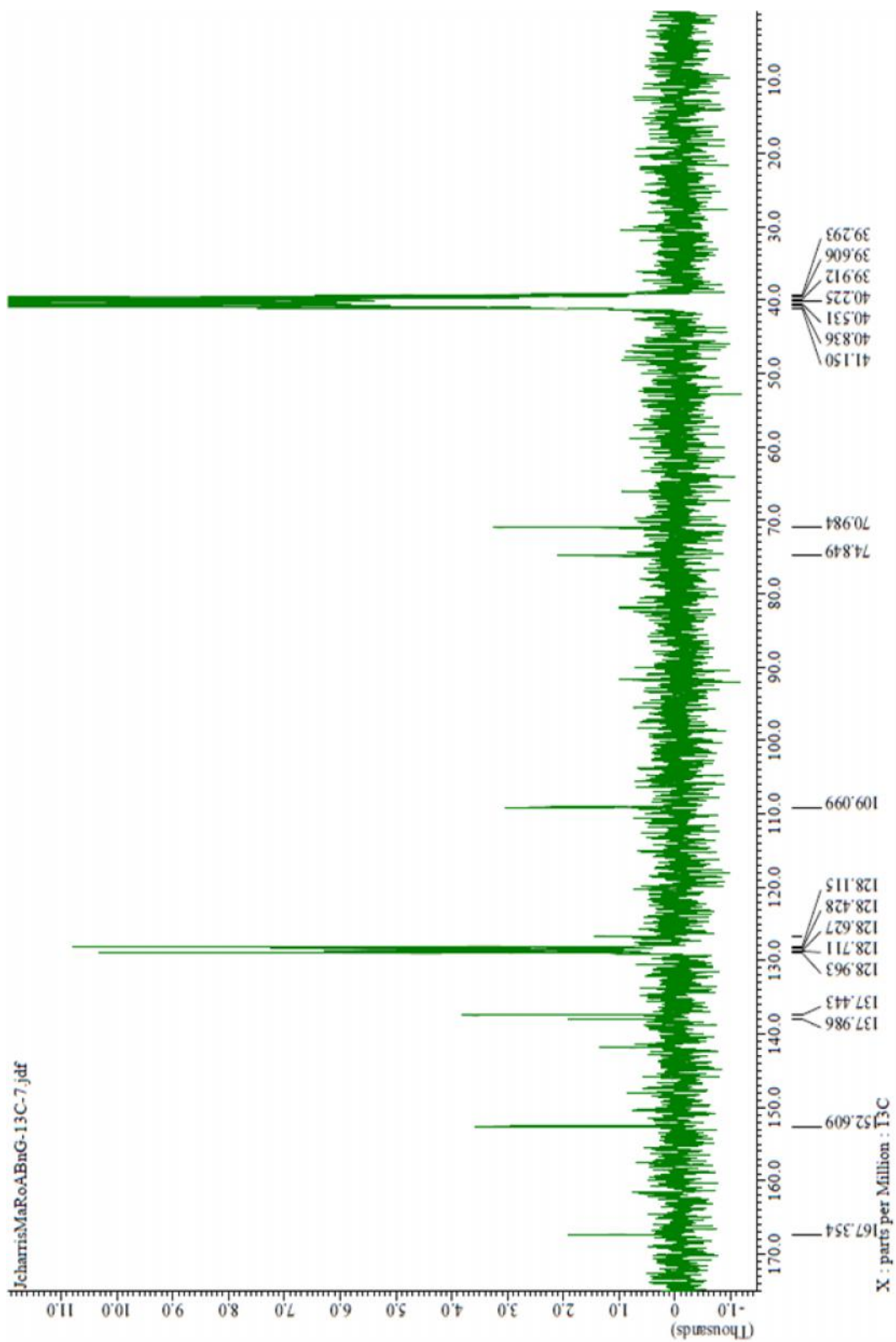
Espectro 111. Espectro RMN- ^1H del compuesto BnGM.



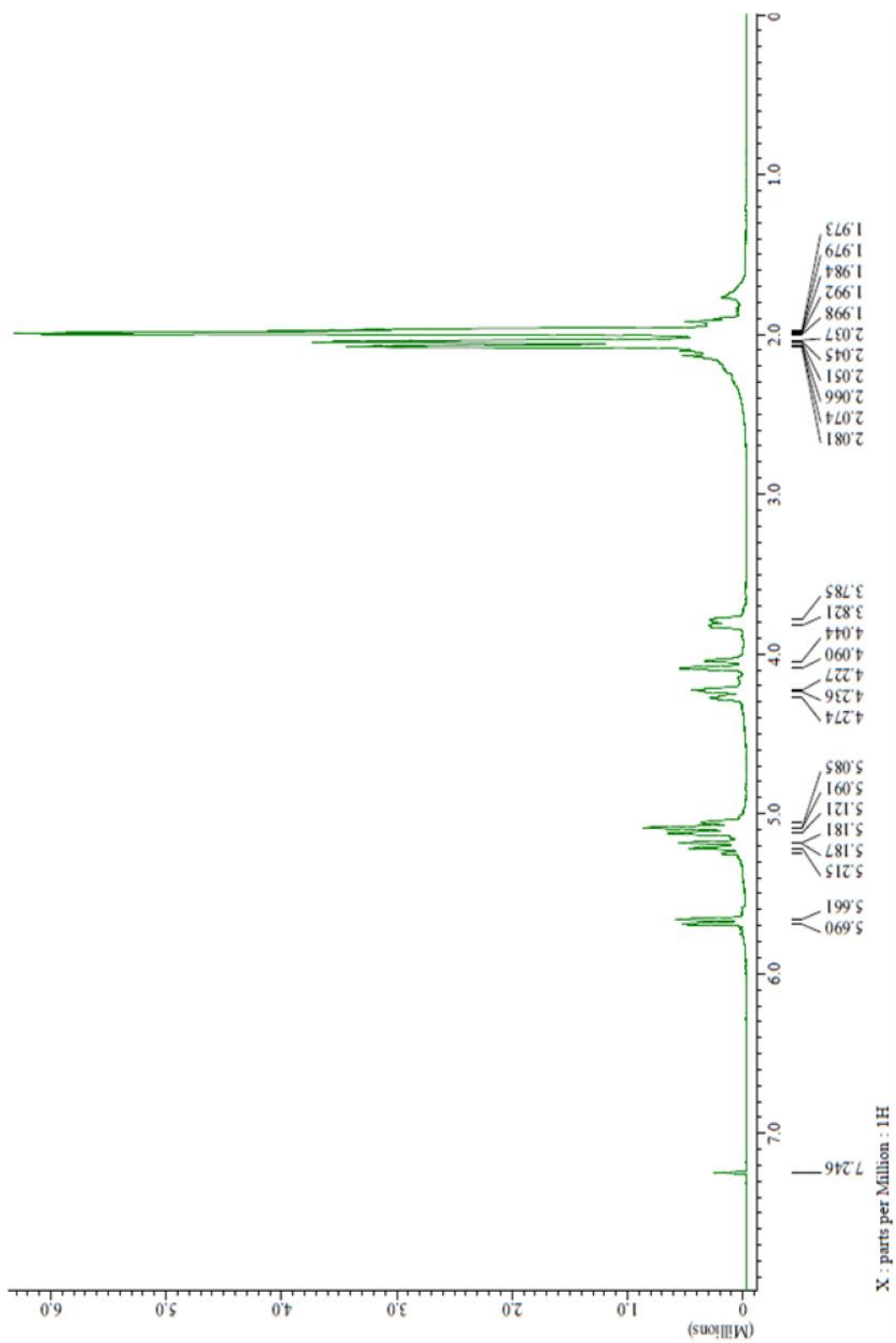
Espectro 112. Espectro RMN- ^{13}C del compuesto BnGM.



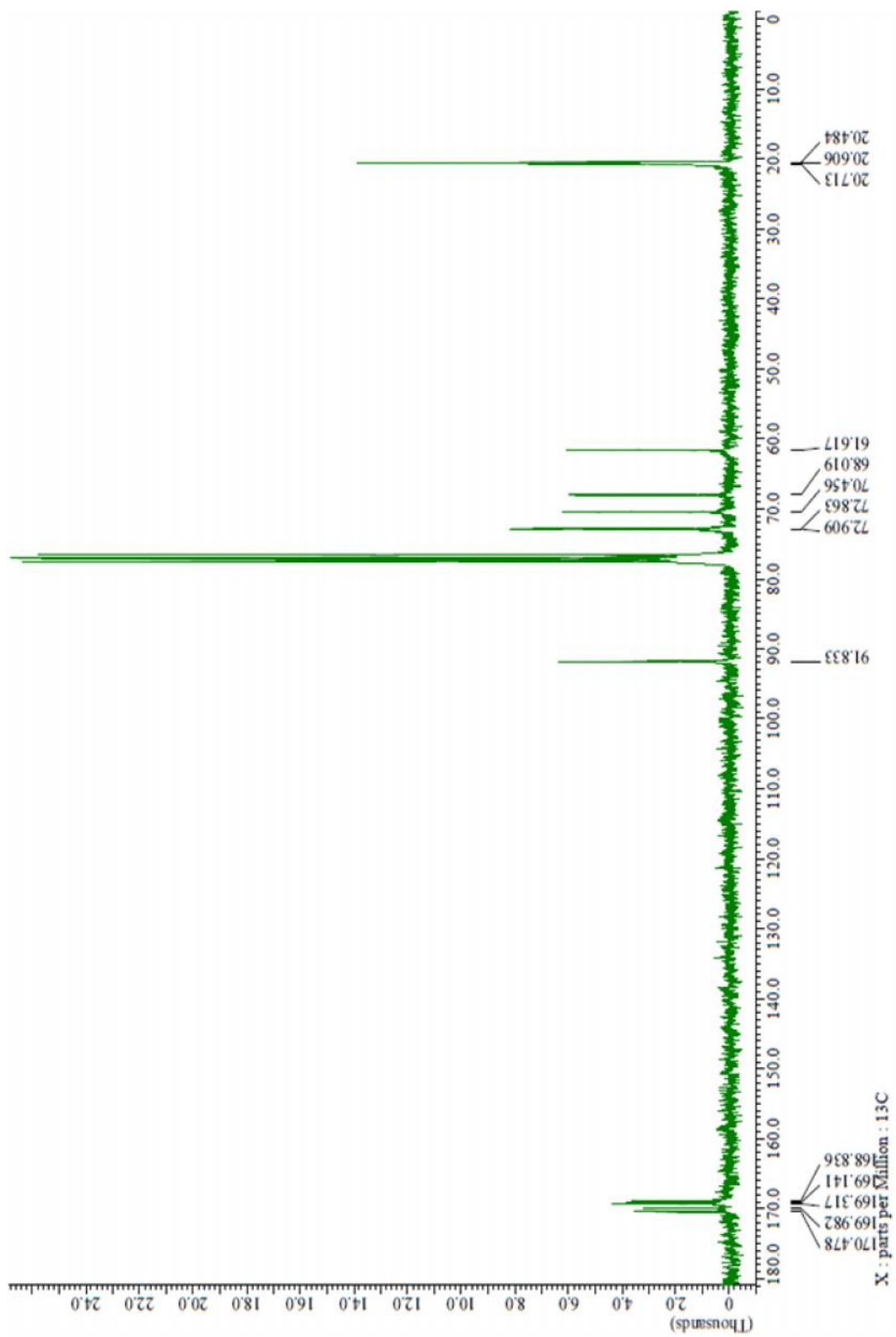
Espectro 113. Espectro RMN- ^1H del compuesto ABnG.



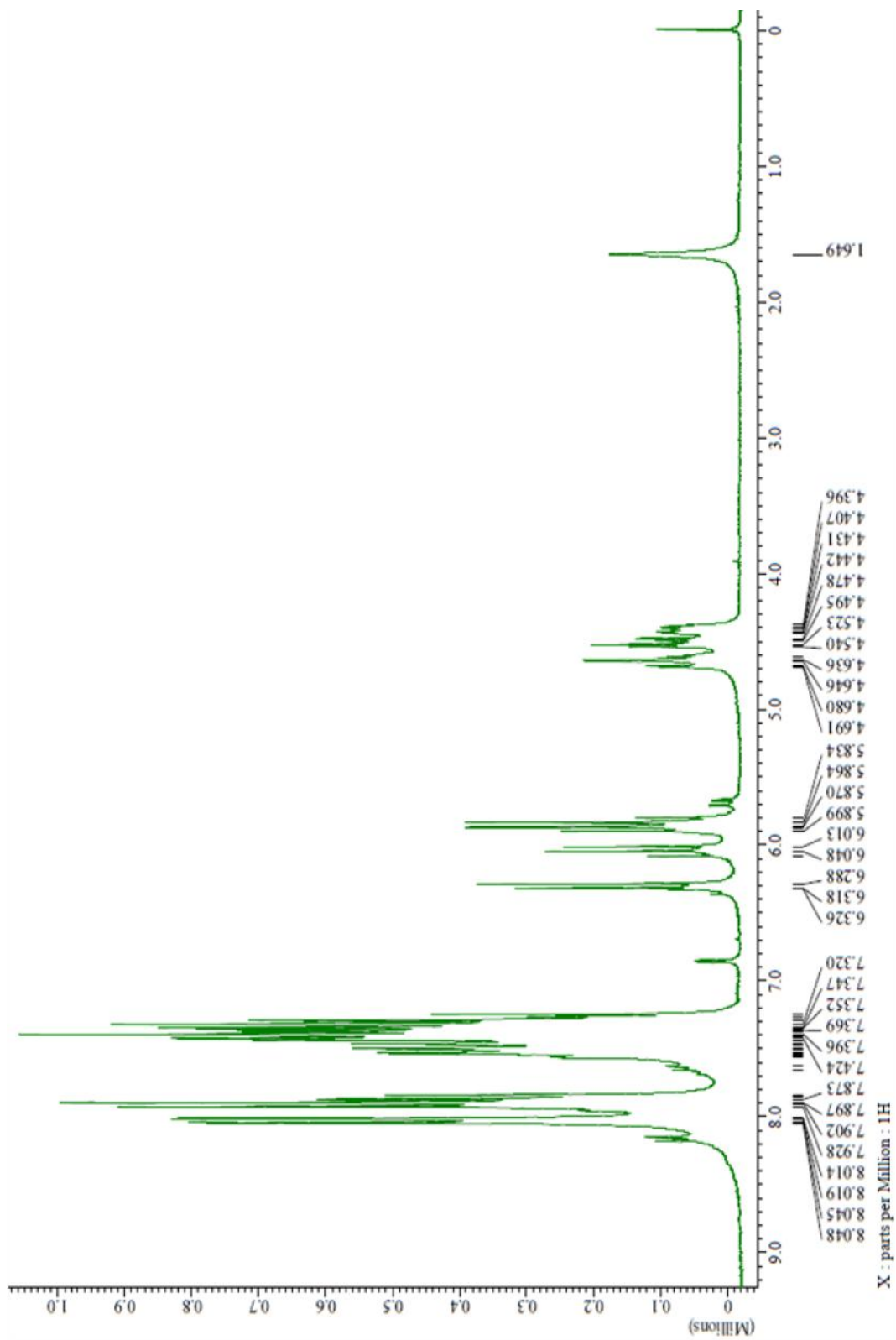
Espectro 114. Espectro RMN-¹³C del compuesto ABnG.



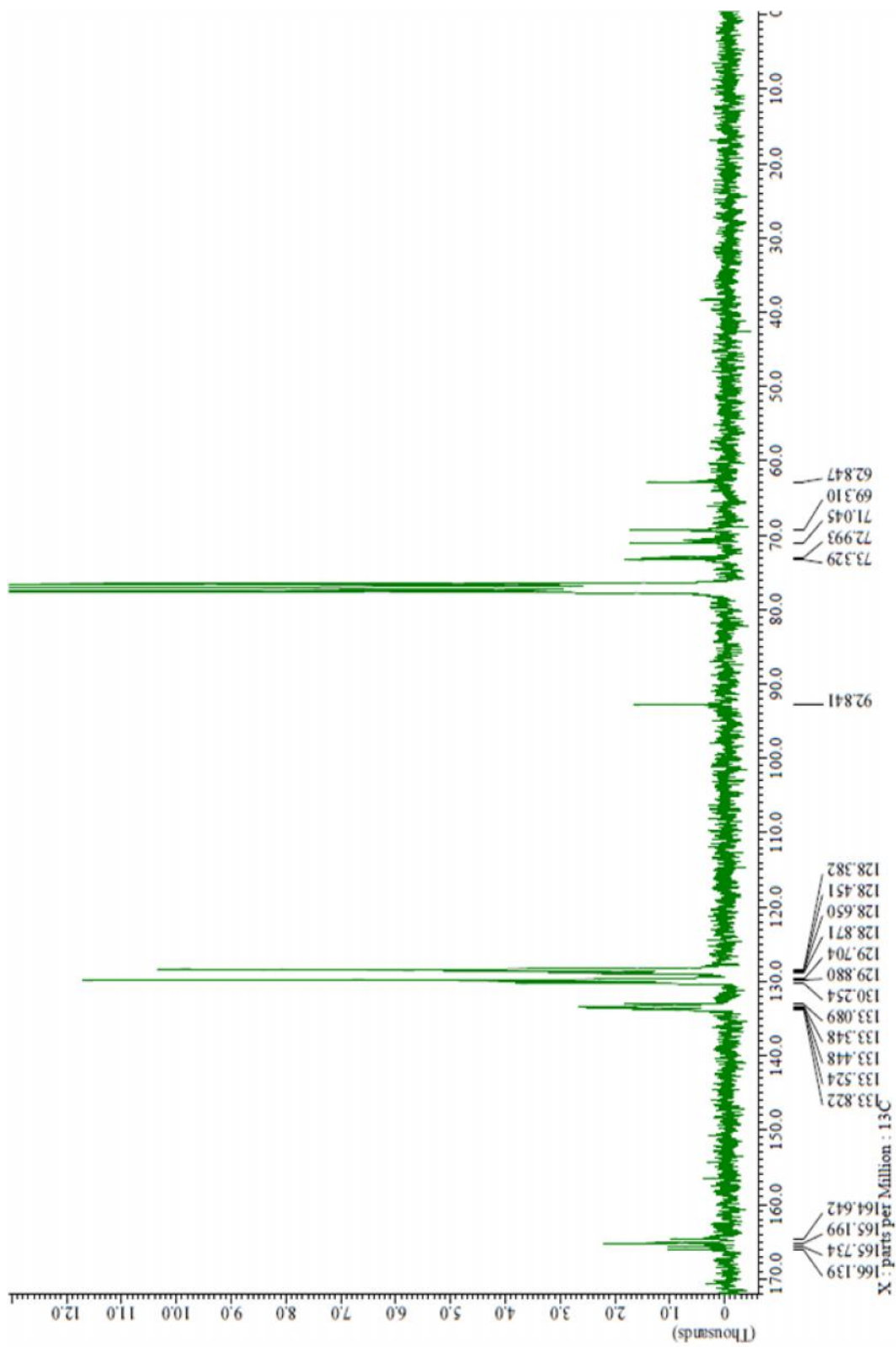
Espectro 115. Espectro RMN- ^1H del compuesto β -PAG.



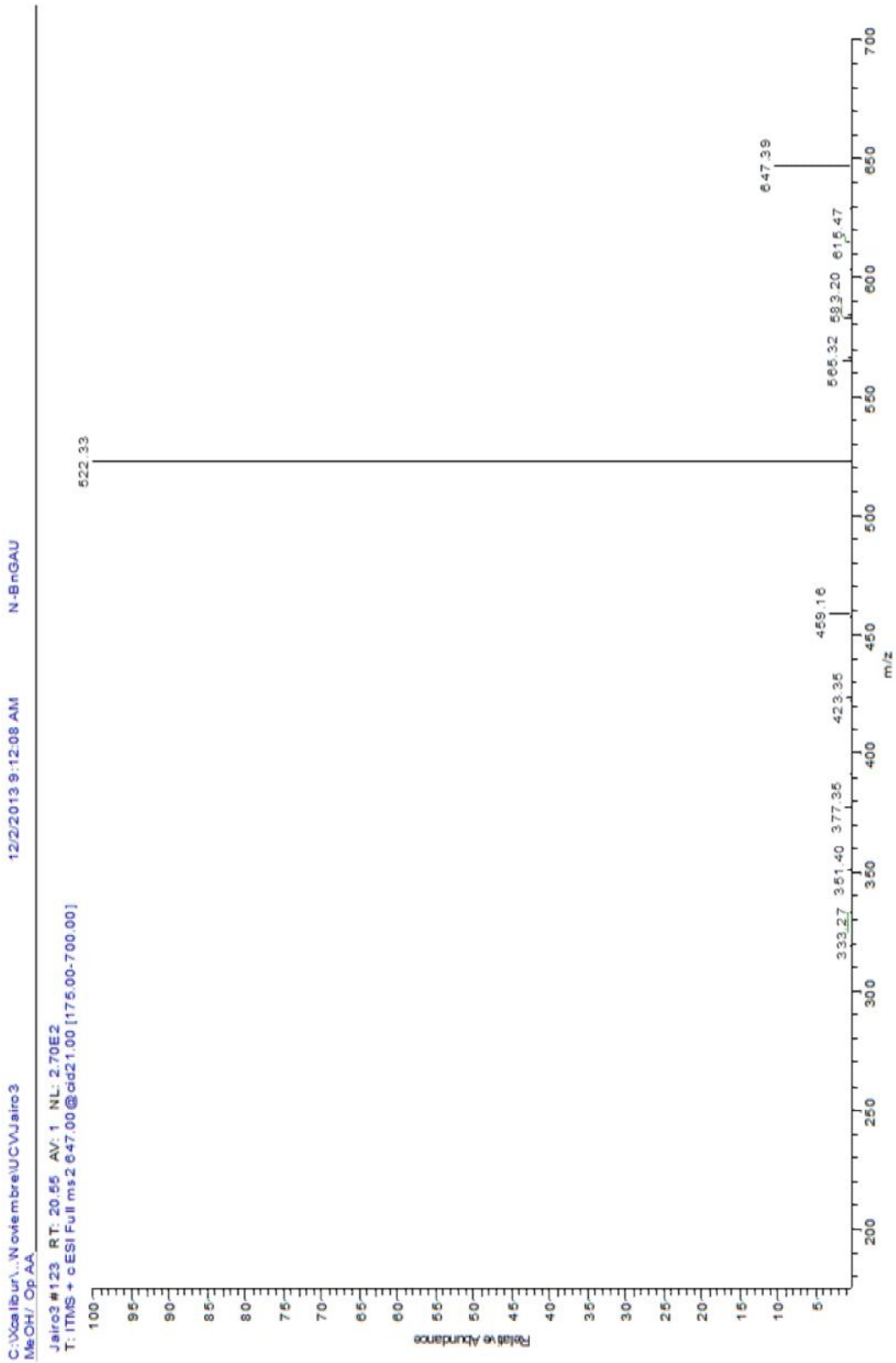
Espectro 116. Espectro RMN- ^{13}C del compuesto β -PAG.



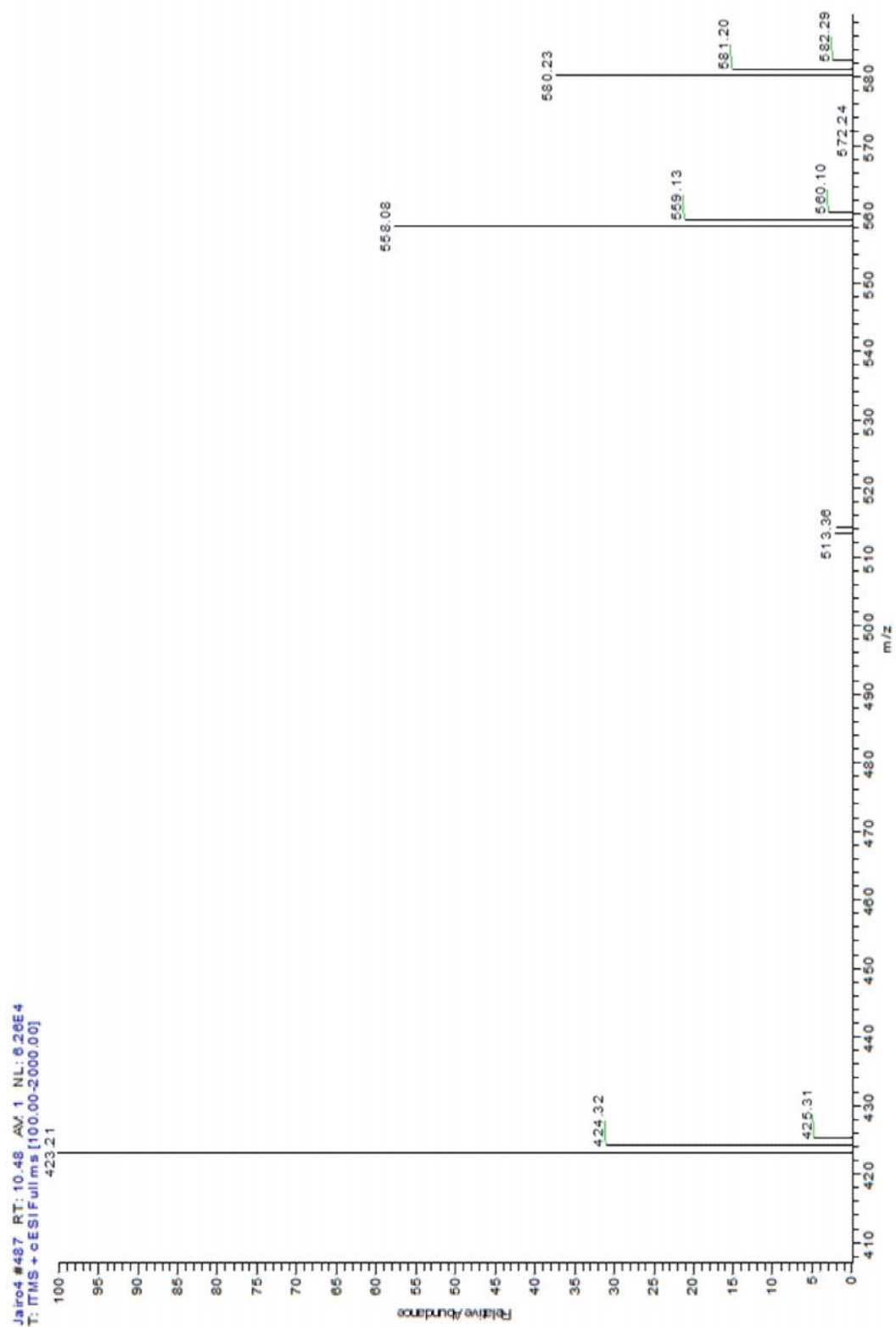
Espectro 117. Espectro RMN- ^1H del compuesto β -PBG.



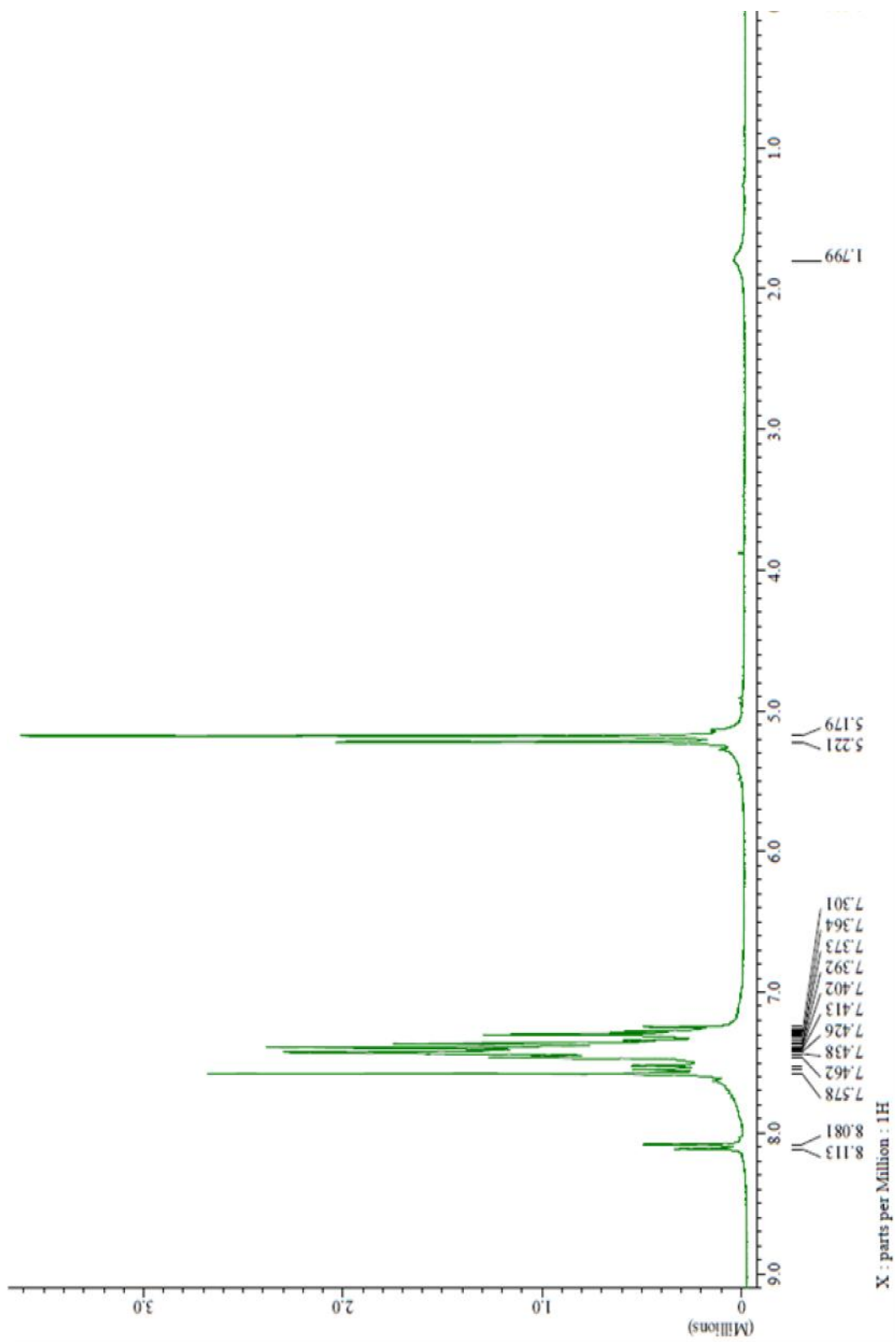
Espectro 118. Espectro RMN- ^{13}C del compuesto β -PBG.



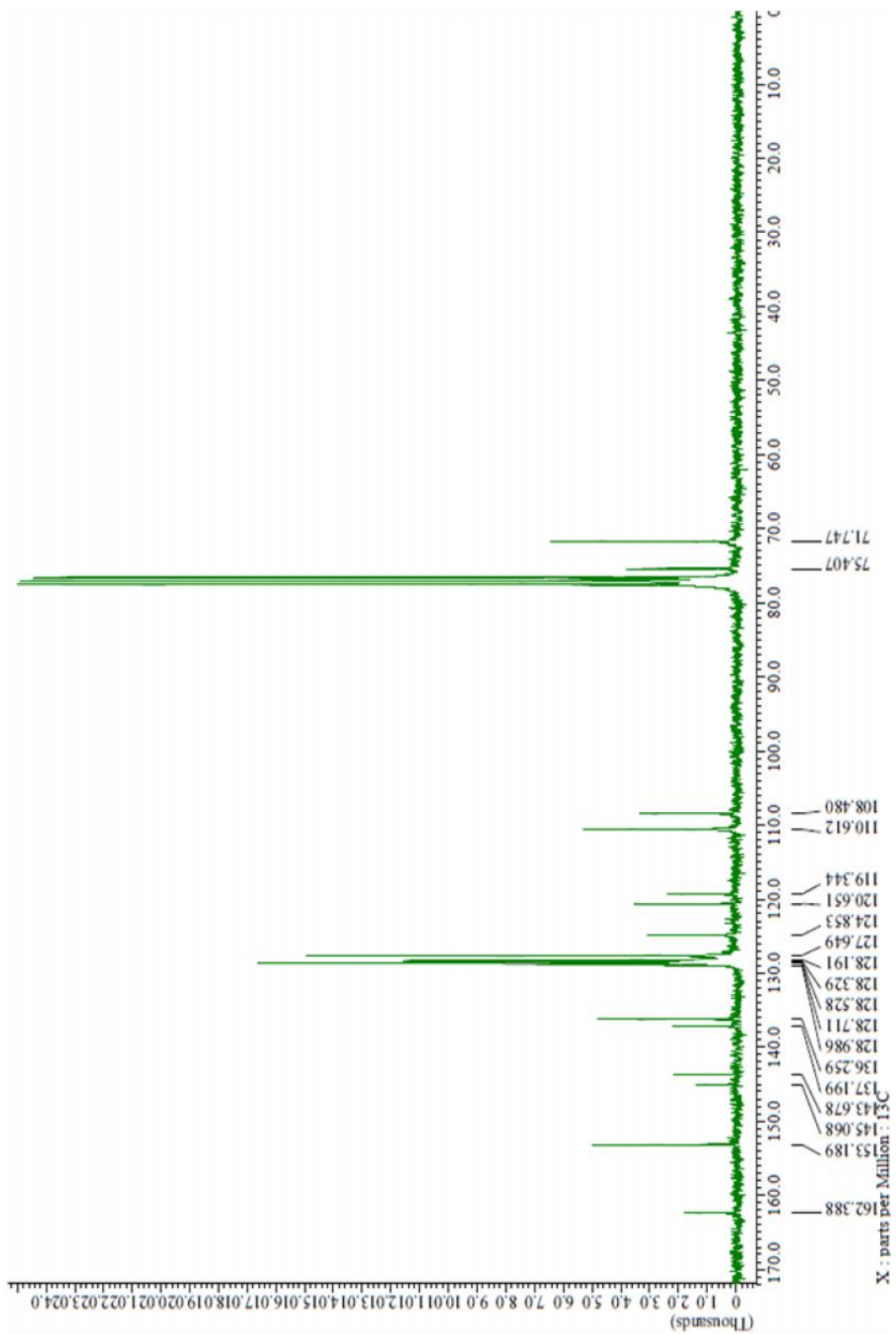
Espectro 119. EM-EM del compuesto NBnGAU.



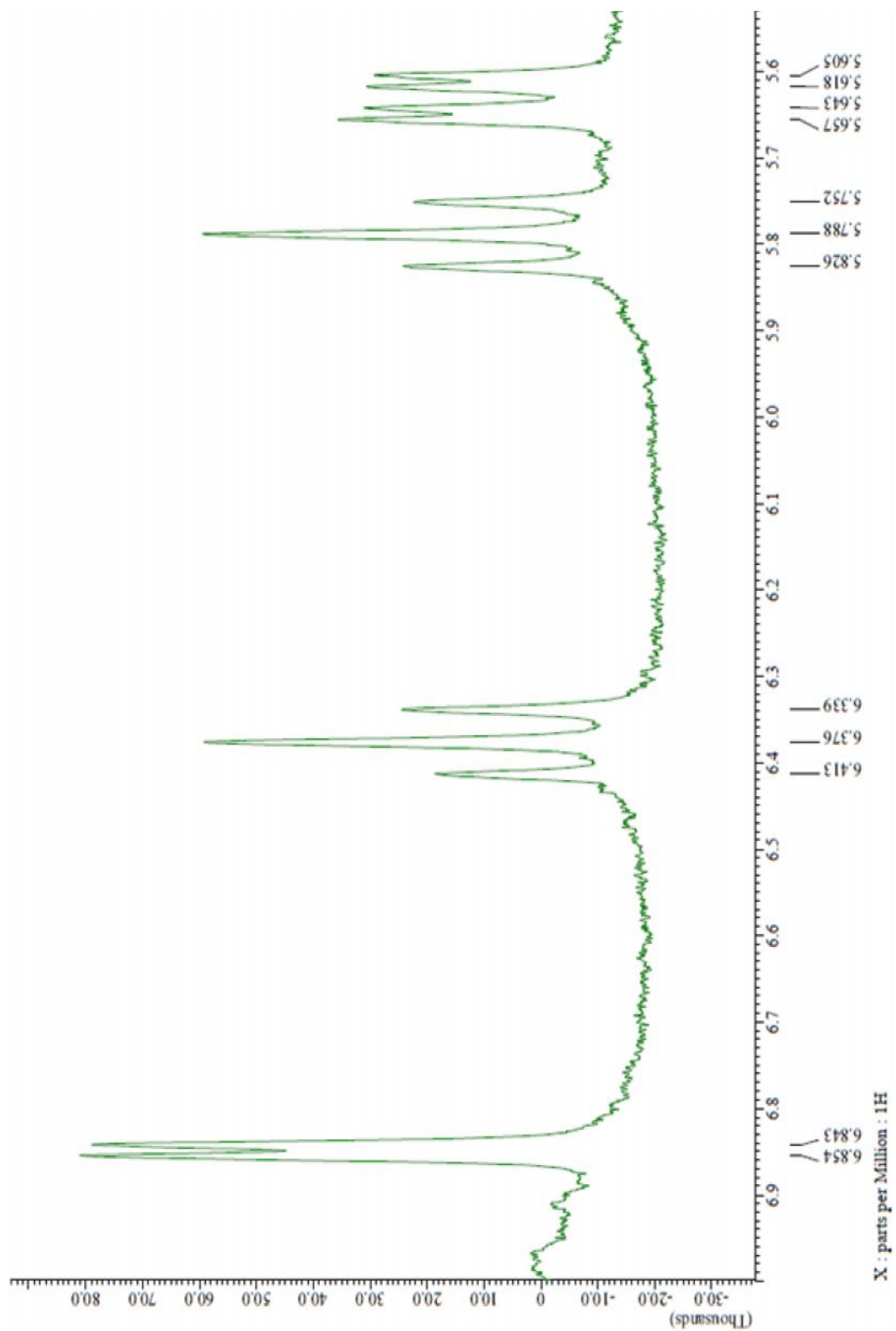
Espectro 120. EM del compuesto BnGOBt.



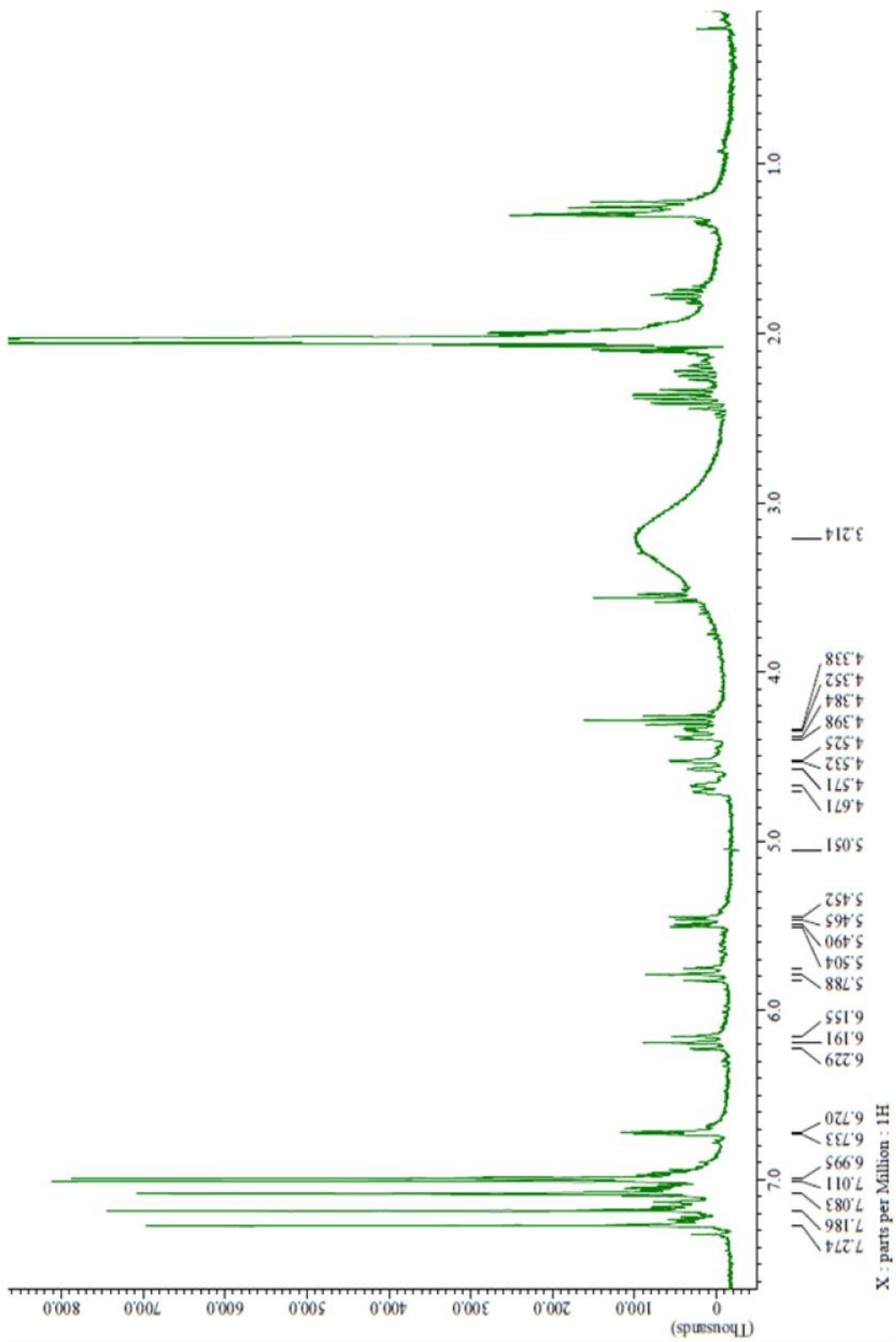
Espectro 121. Espectro RMN- ^1H del compuesto BnGOBt.



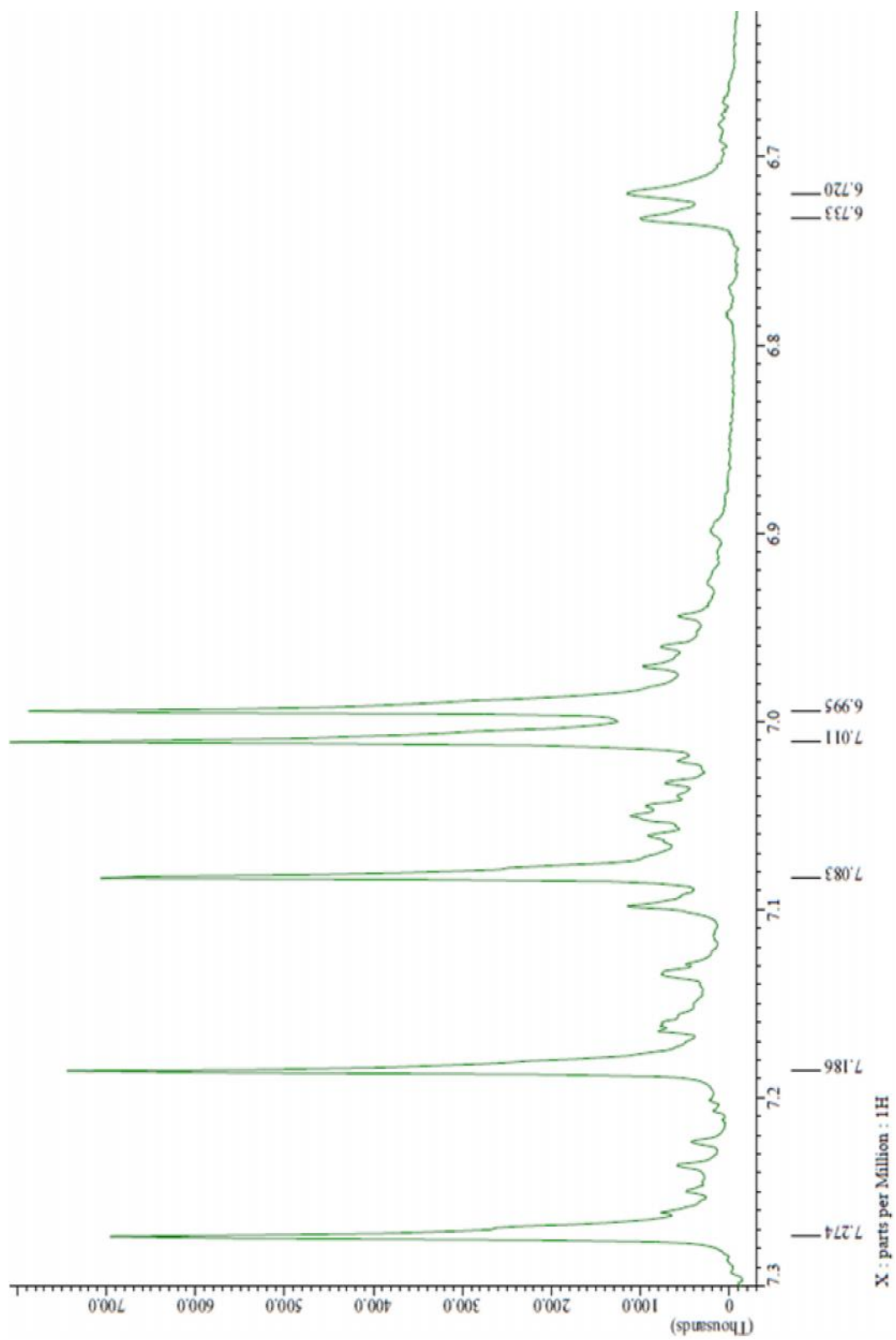
Espectro 122. Espectro RMN- ^{13}C del compuesto BnGOBt.



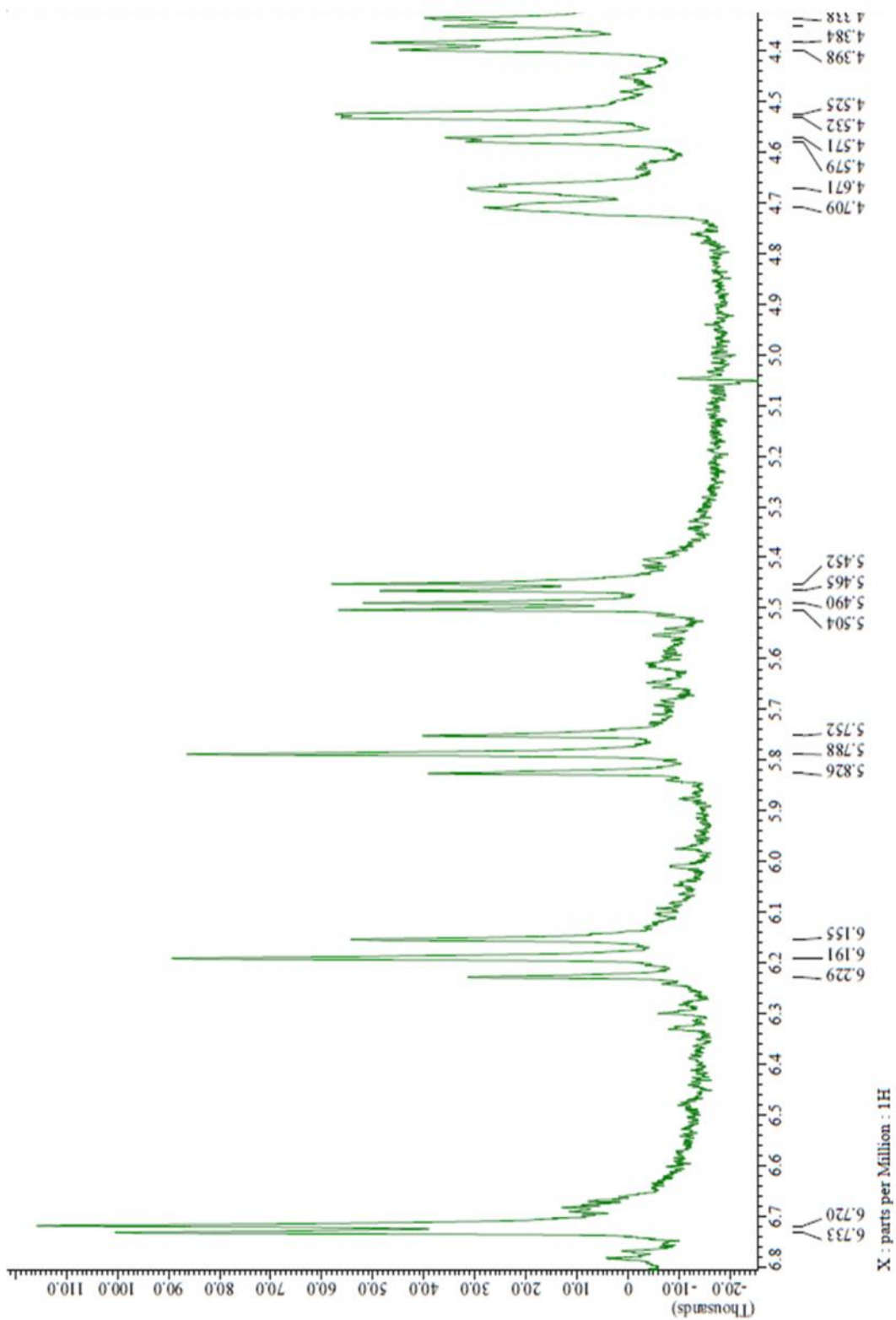
Espectro 124. Ampliación entre 5,5 y 7,0 ppm del espectro RMN- ^1H del compuesto α -PGG-Bn.



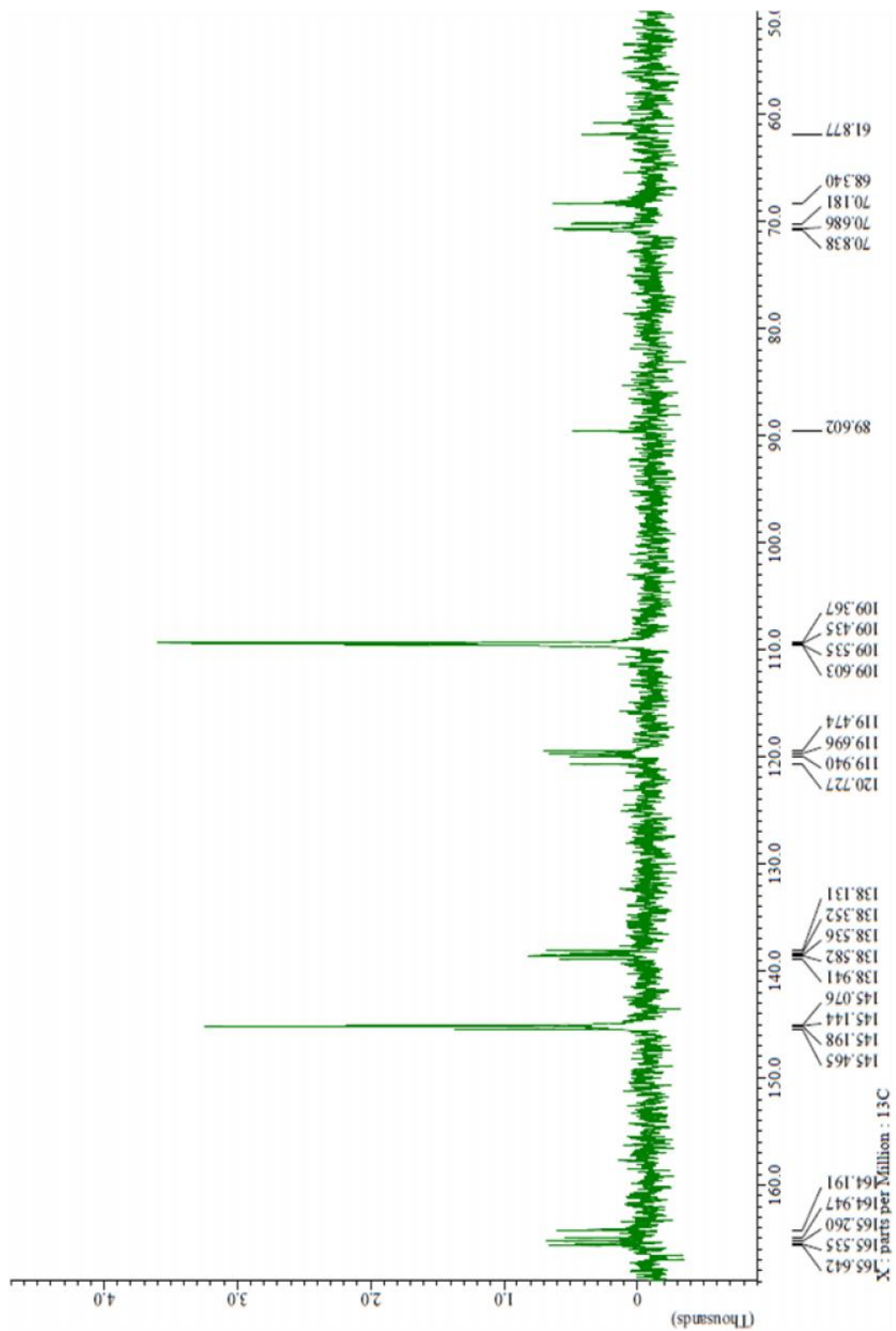
Espectro 125. Espectro RMN-¹H del compuesto α -PGG.



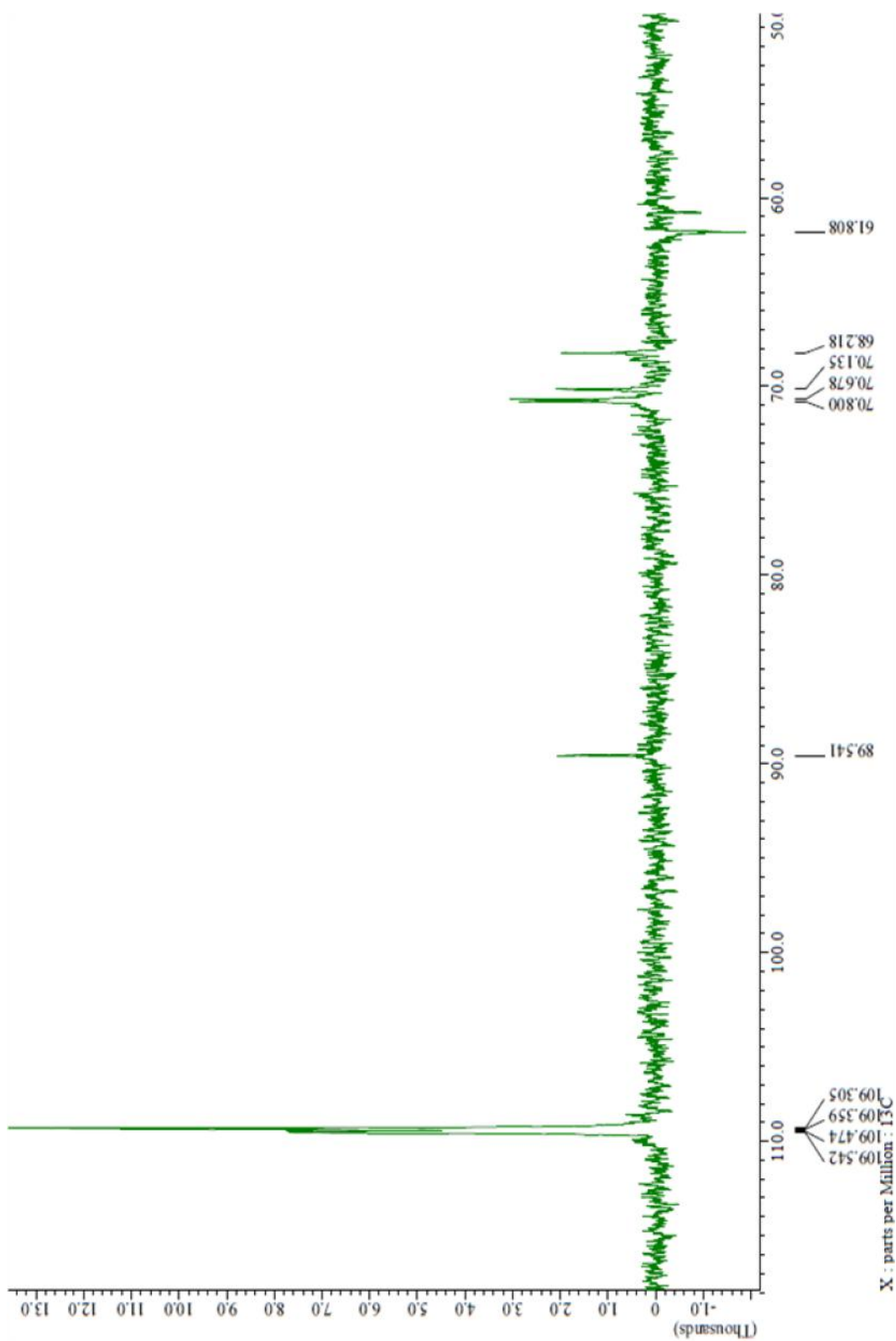
Espectro 126. Ampliación entre 6,6 y 7,3 ppm RMN-¹H del compuesto α -PGG.



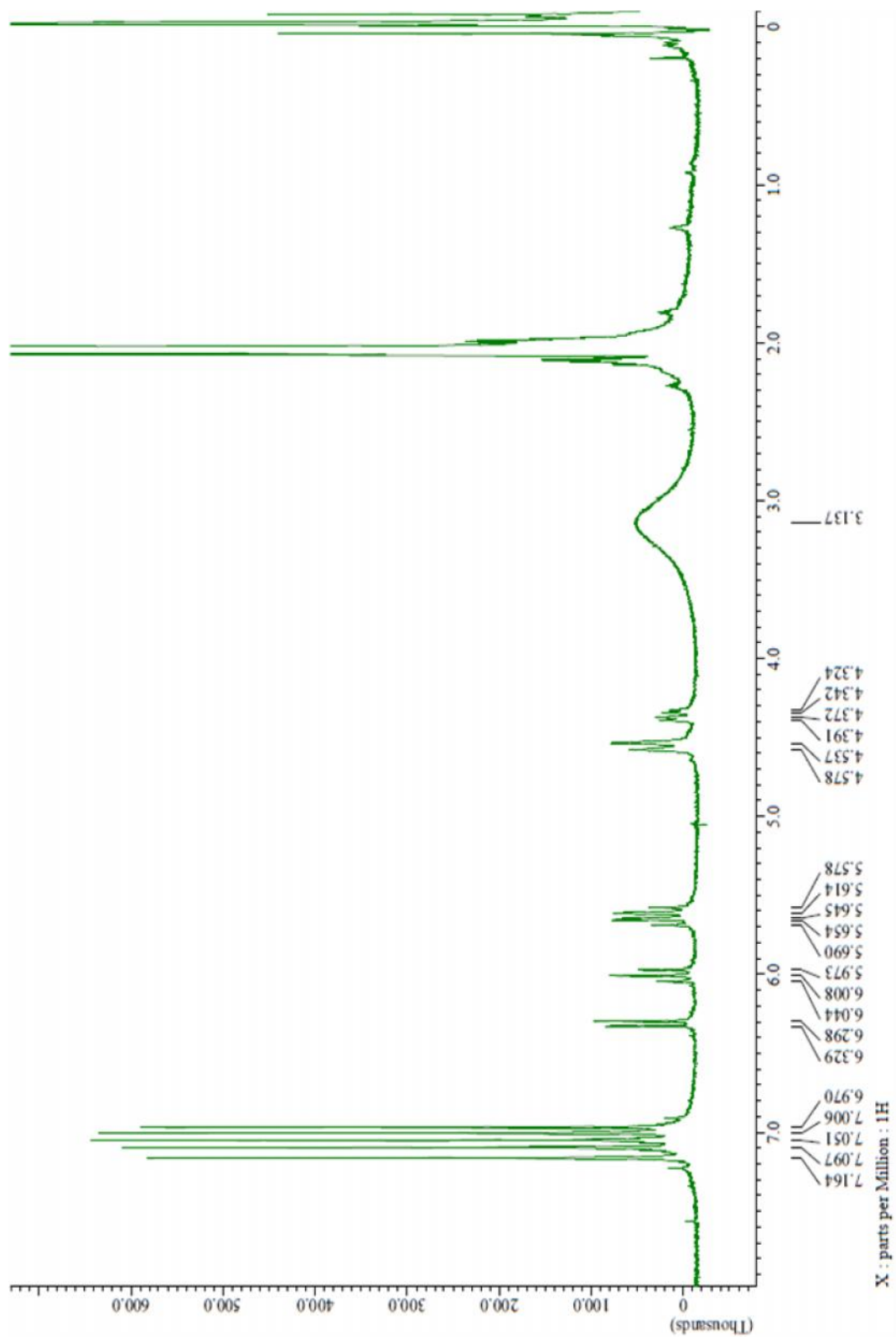
Espectro 127. Ampliación entre 4,3 y 6,8 ppm RMN-¹H del compuesto α -PGG₂



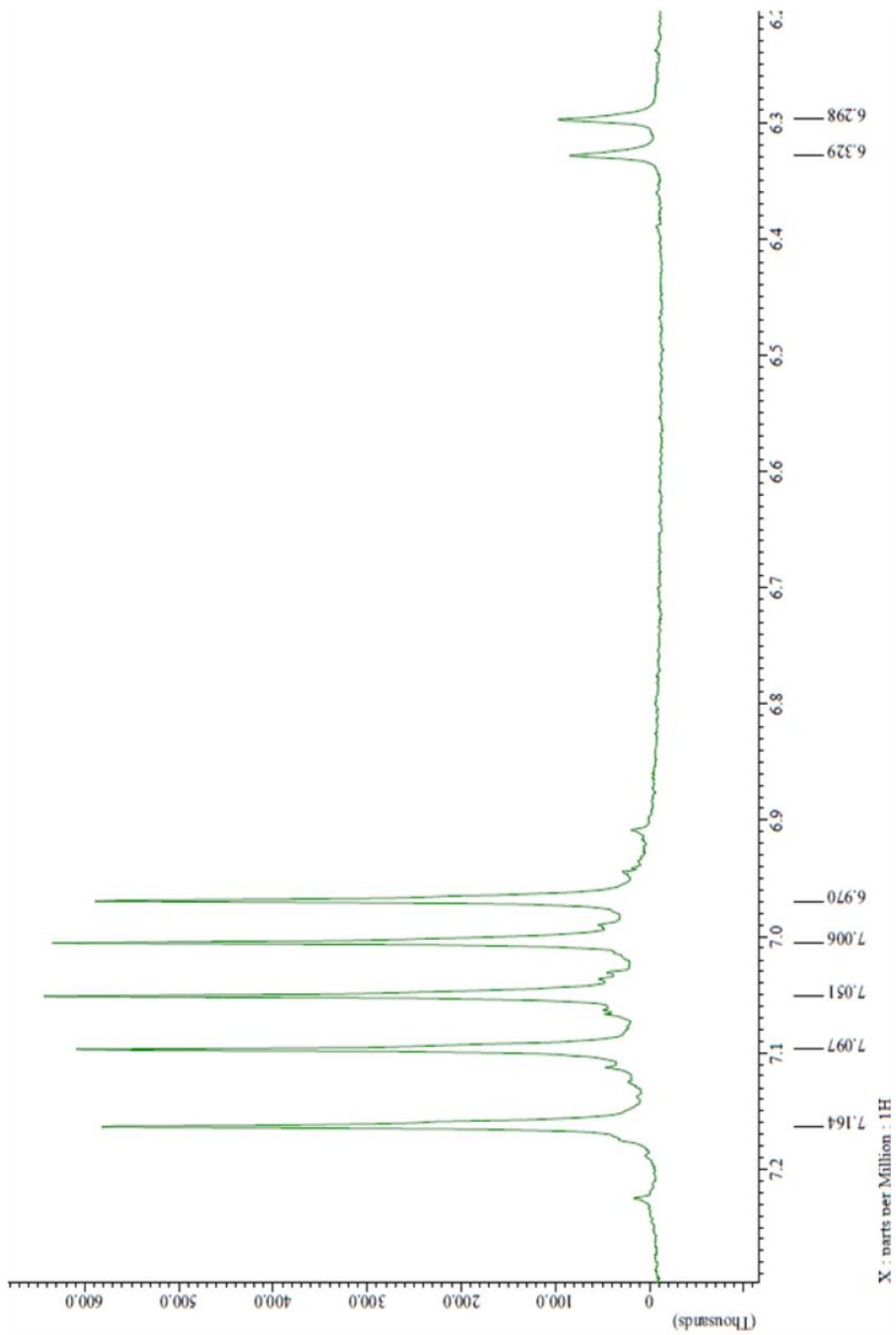
Espectro 128. Espectro RMN-¹³C del compuesto α-PGG.



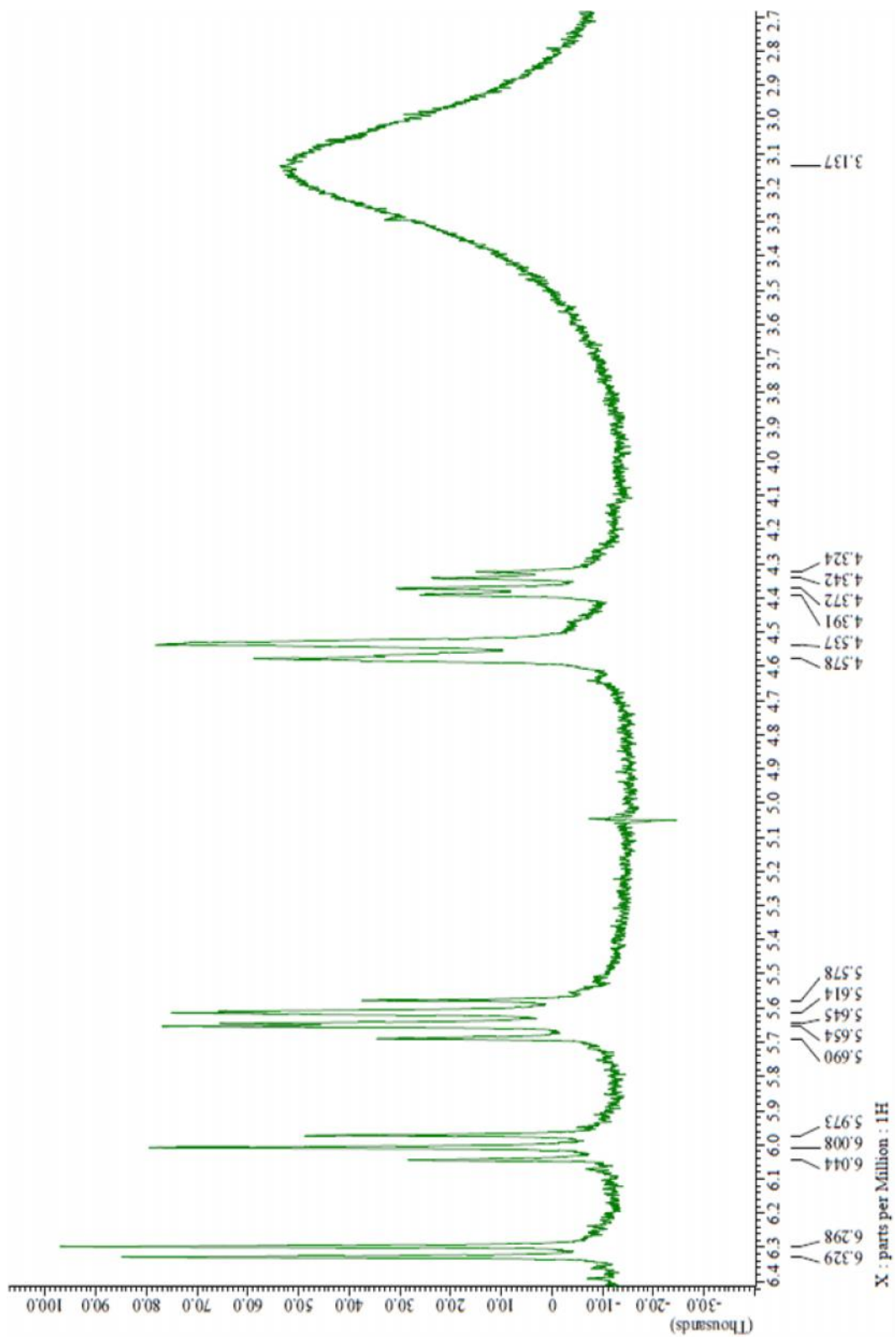
Espectro 129. Espectro DEPT-135 del compuesto α -PGG.



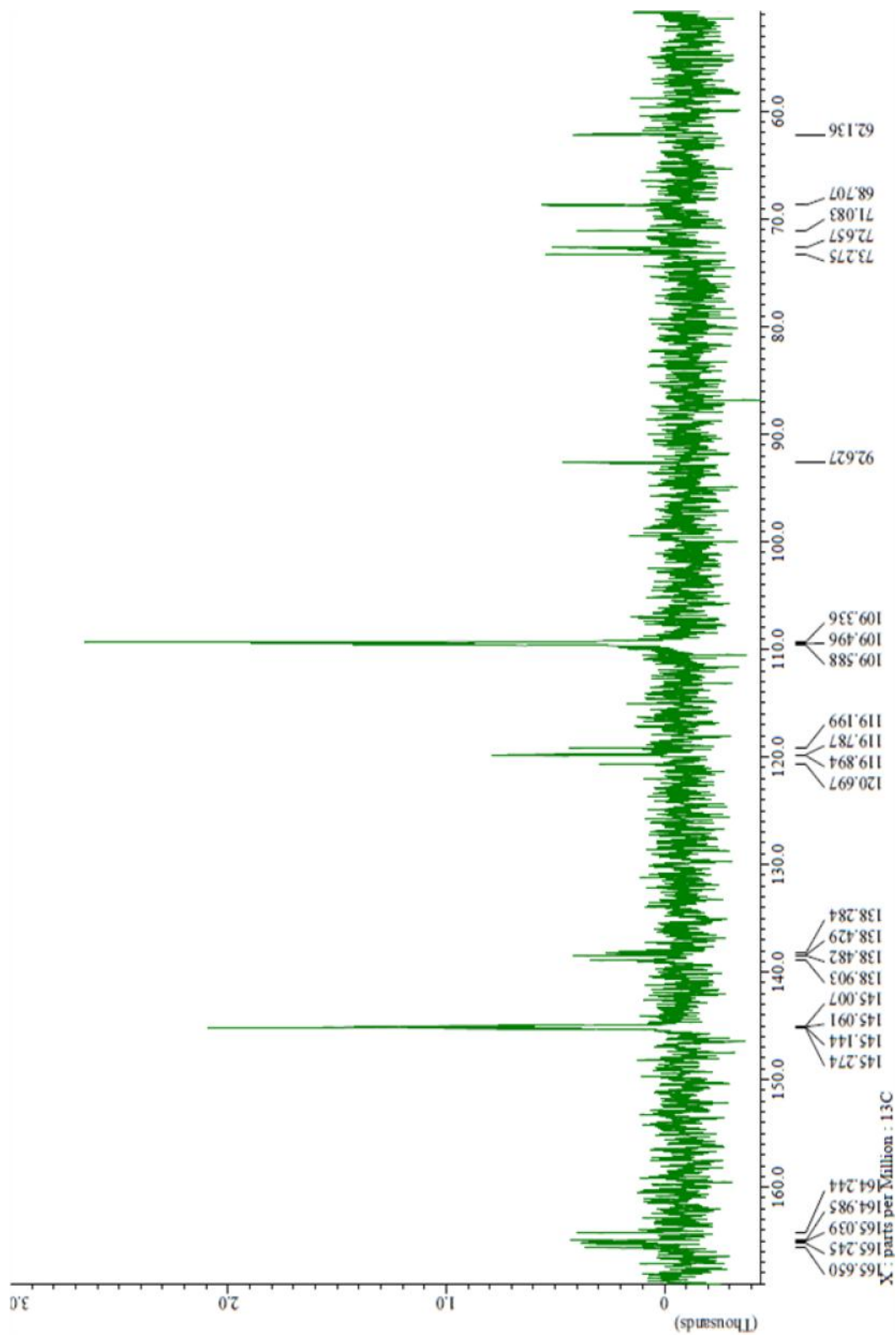
Espectro 130. Espectro RMN- ^1H del compuesto β -PGG.



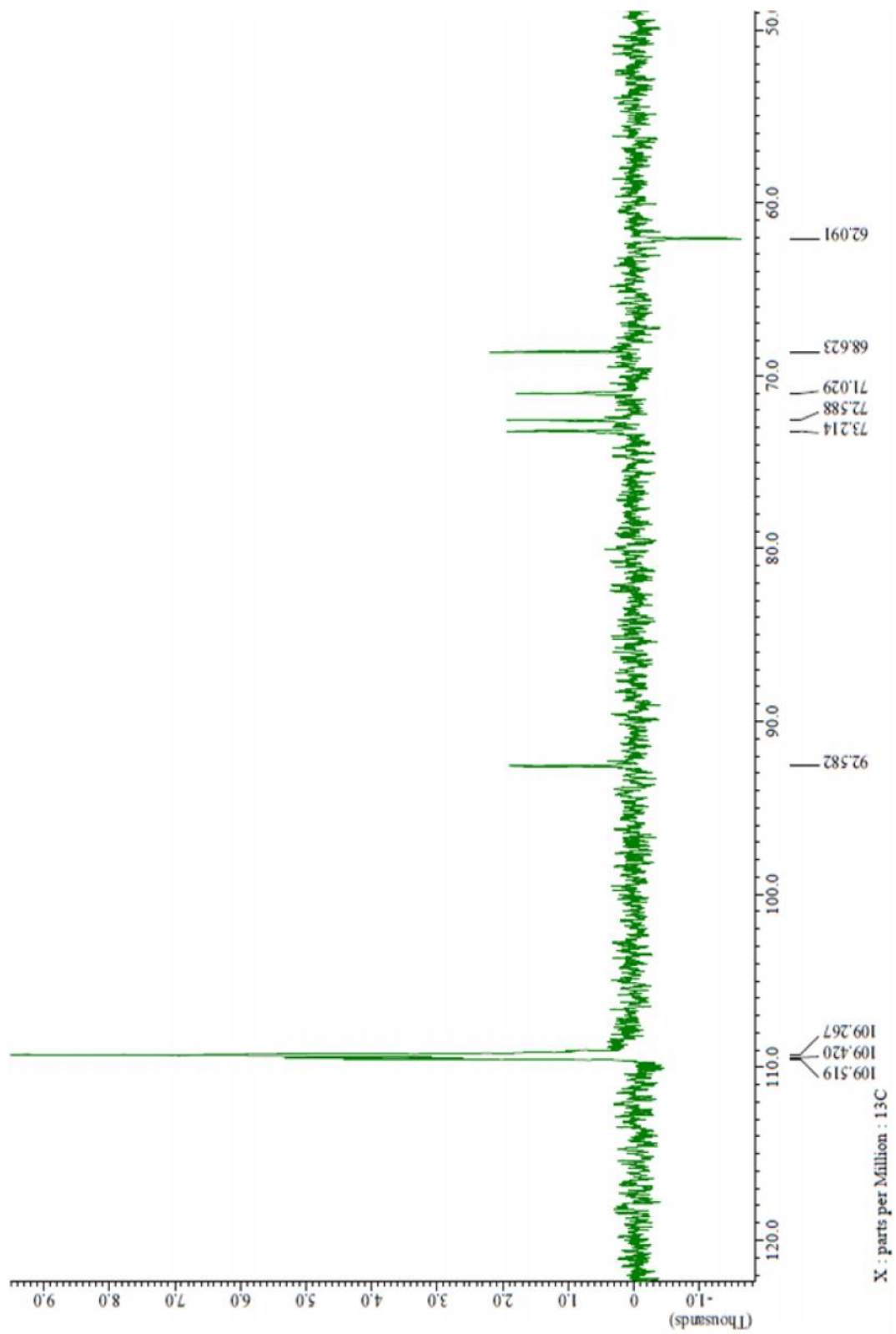
Espectro 131. Ampliación entre 6,2 y 7,3 ppm RMN-¹H del compuesto β-PGG.



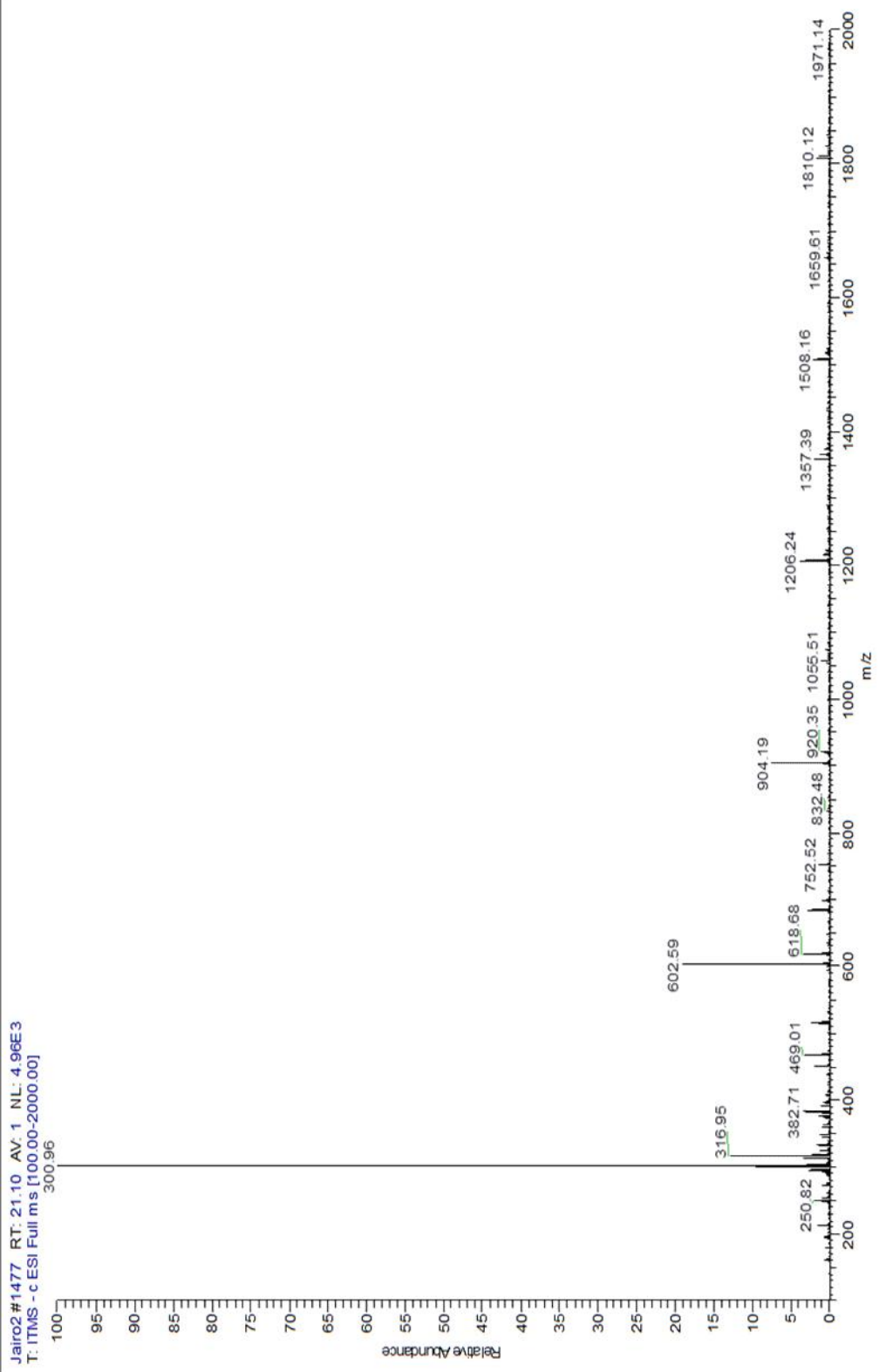
Espectro 132. Ampliación entre 2,7 y 6,4 ppm RMN- ^{13}C del compuesto β -PGG



Espectro 133. Espectro RMN-¹³C del compuesto β -PGG.

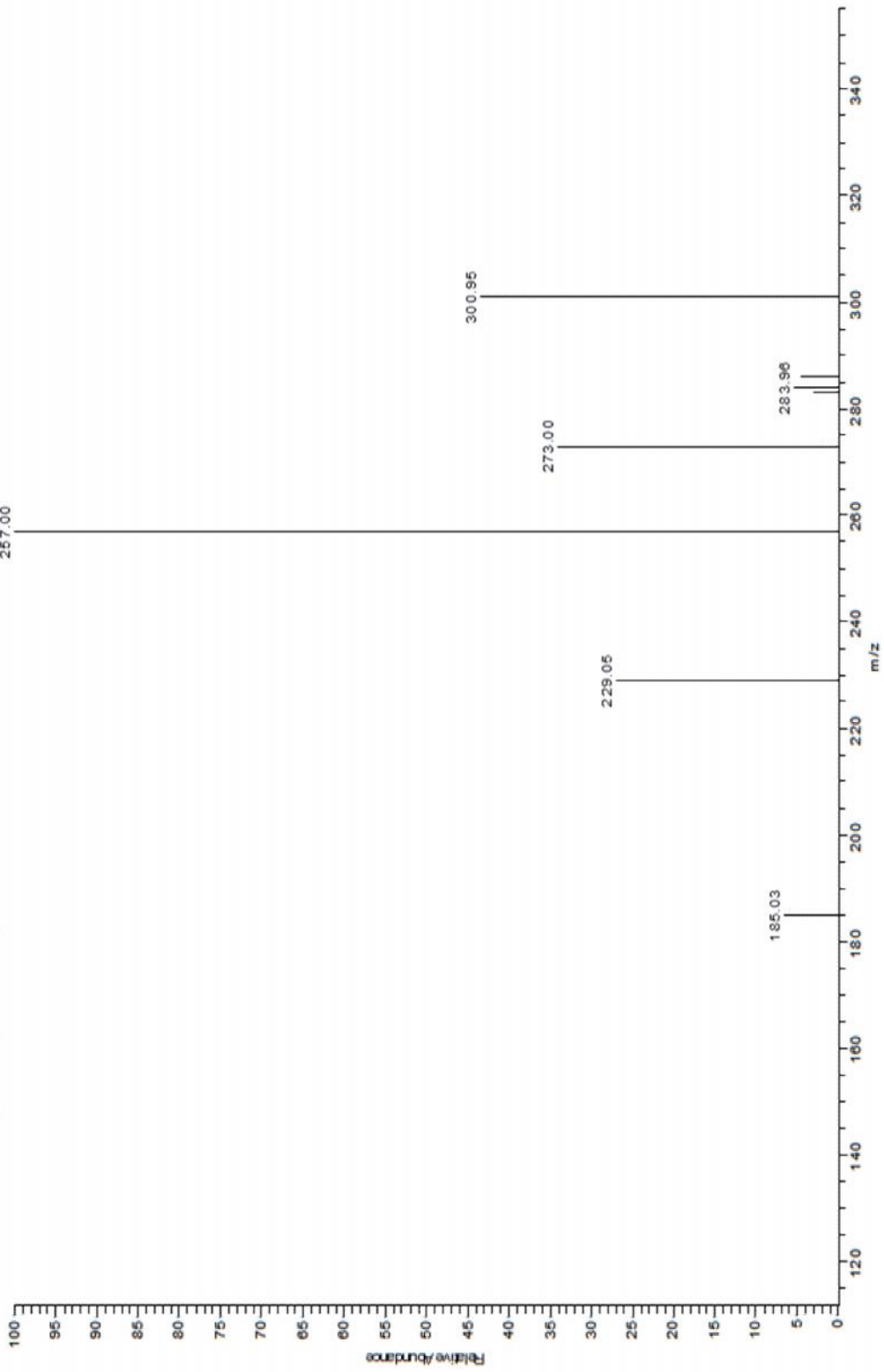


Espectro 134. Espectro DEPT-135 del compuesto β -PGG.



Espectro 135. EM del compuesto AE.

Jairo2 #1391 RT: 17.29 AV: 1 NL: 7.88E 1
T: ITMS - cESI/Full.ms2 301.00@cid38.00 [80.00-500.00]



Espectro 136. EM-EM del compuesto AE.